



Università degli Studi di Ferrara
Clinica Oculistica “Antonio Rossi”
Direttore: *Prof. Adolfo Sebastiani*



Diagnosi e Terapia del Melanoma dell'Uvea

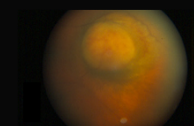
Paolo Perri



Melanoma dell'uvea

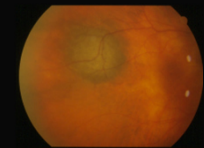
Il Melanoma Maligno dell'uvea è il tumore melanocitario più frequente dopo quello cutaneo; escluso infatti quest'ultimo, la localizzazione oculare rappresenta la quota maggiore e copre il 79% dei casi osservabili con una diversa frequenza nei tre segmenti uveali: 80% nella coroide, 12% nel corpo ciliare e 8% nell'iride. Si calcola nel mondo una **incidenza annuale media** di circa **sei casi per milione di abitanti**, ma esiste una notevole variabilità se vengono calcolate le diverse casistiche nazionali

- **Iride (8%)**
- **Corpo Ciliare (12%)**
- **Coroide (80%)**



DIAGNOSI

OFTALMOSCOPIA
(FOTOGRAFIA)



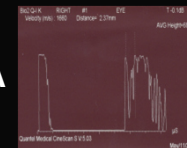
ECOGRAFIA



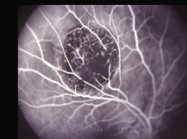
DIAGNOSI

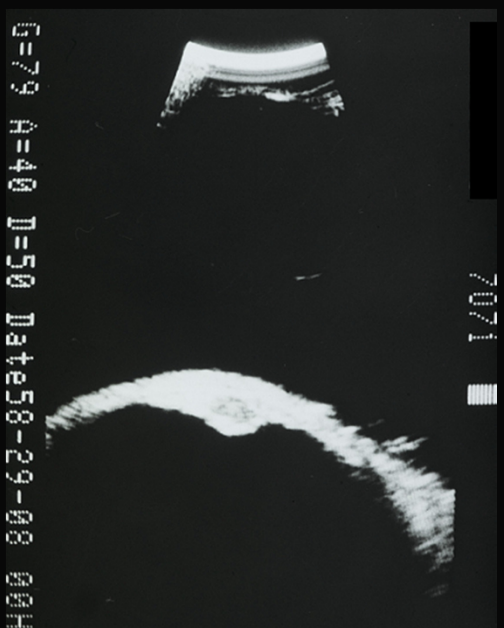


BIOMETRIA



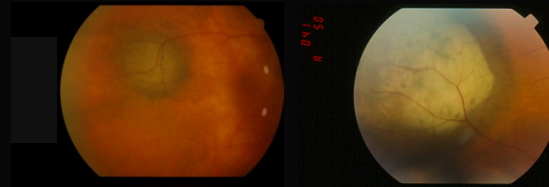
FLUORANGIOGRAFIA



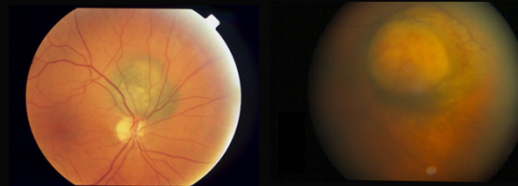


Oftalmoscopia

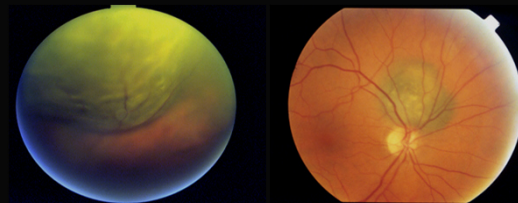
- Colore



- Forma

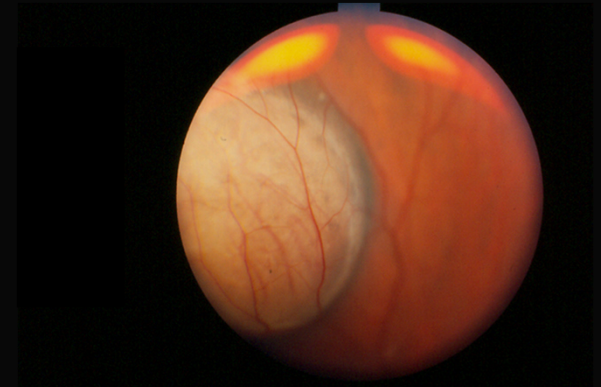
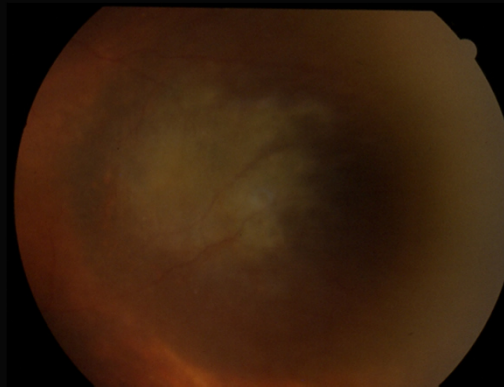


- Dimensioni

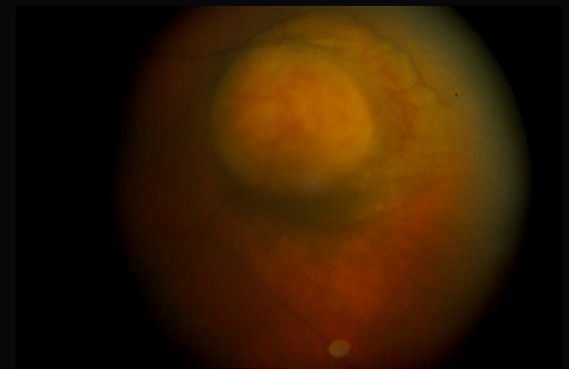
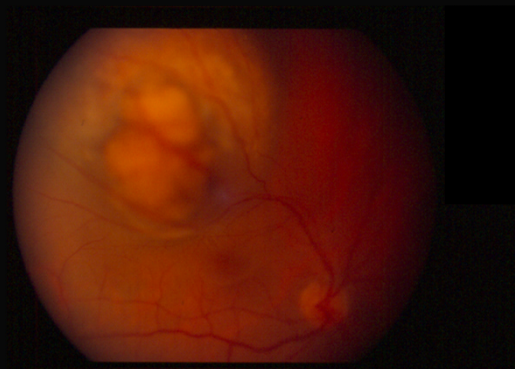
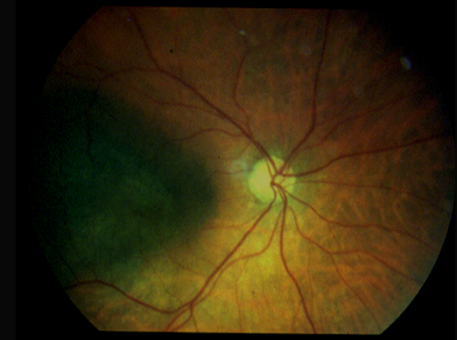
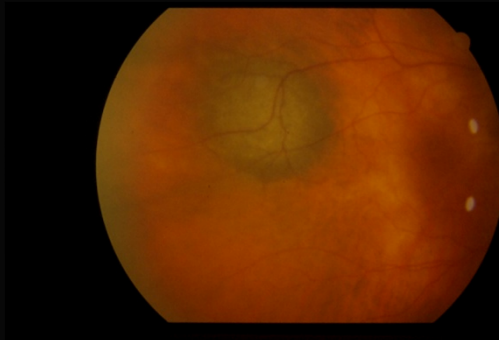
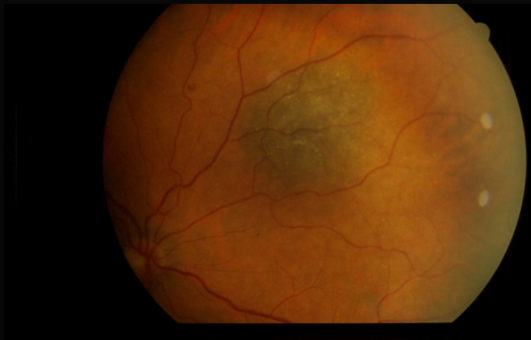
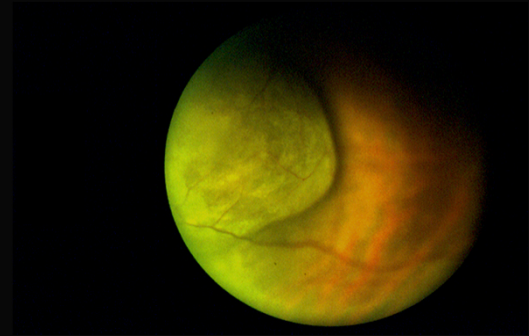




Colore

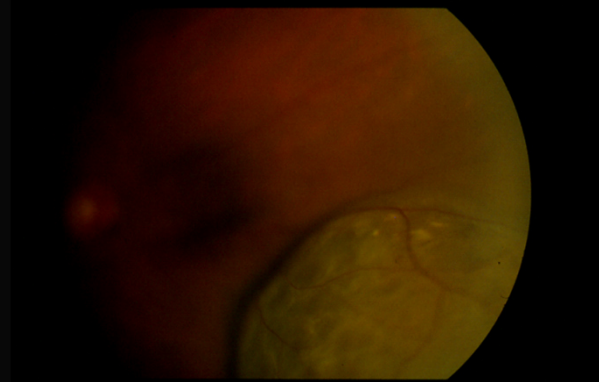


Forma





Dimensioni

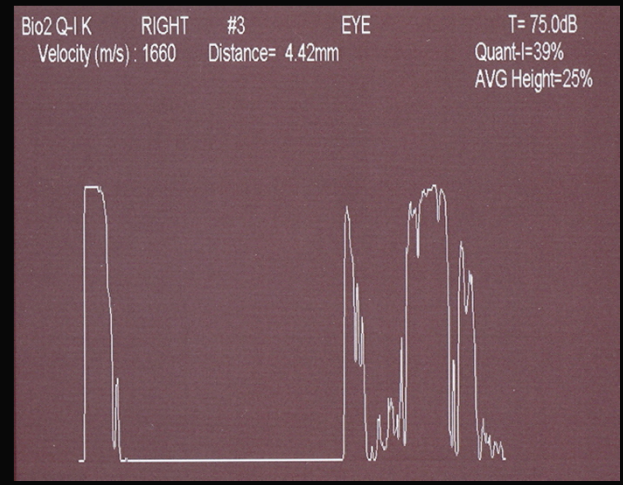
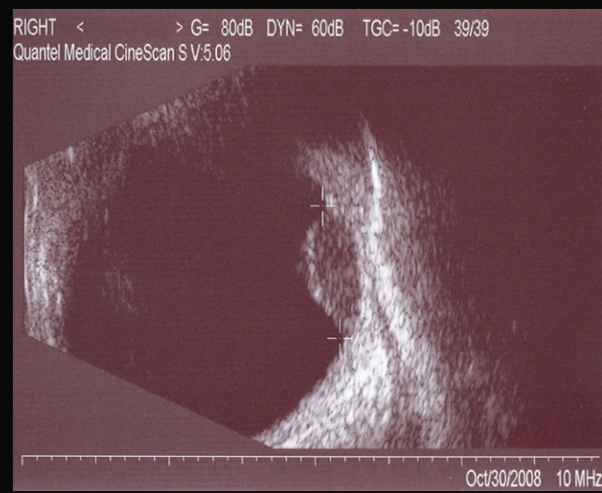
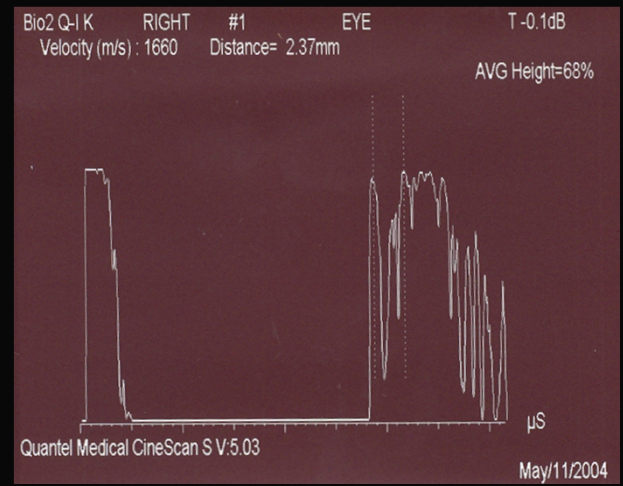


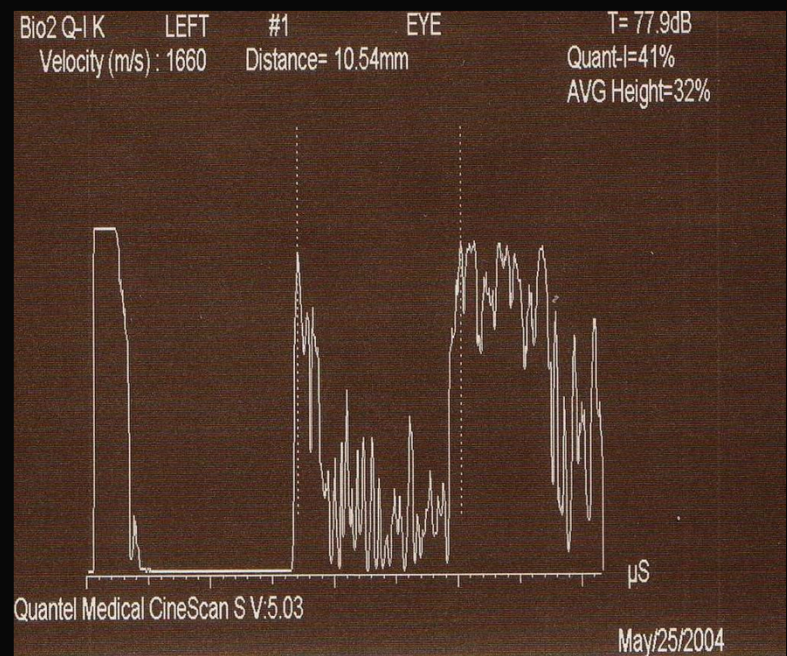
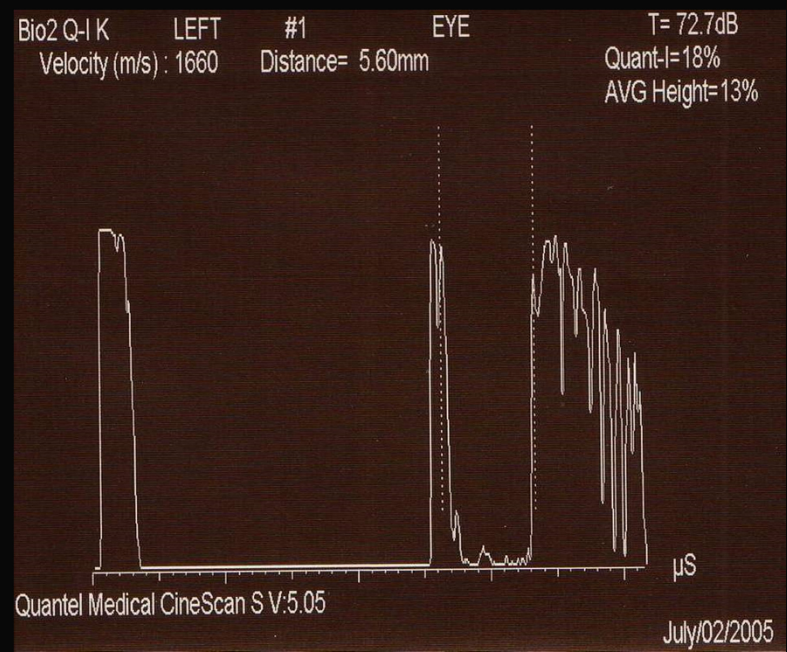
ECOGRAFIA

Spessore

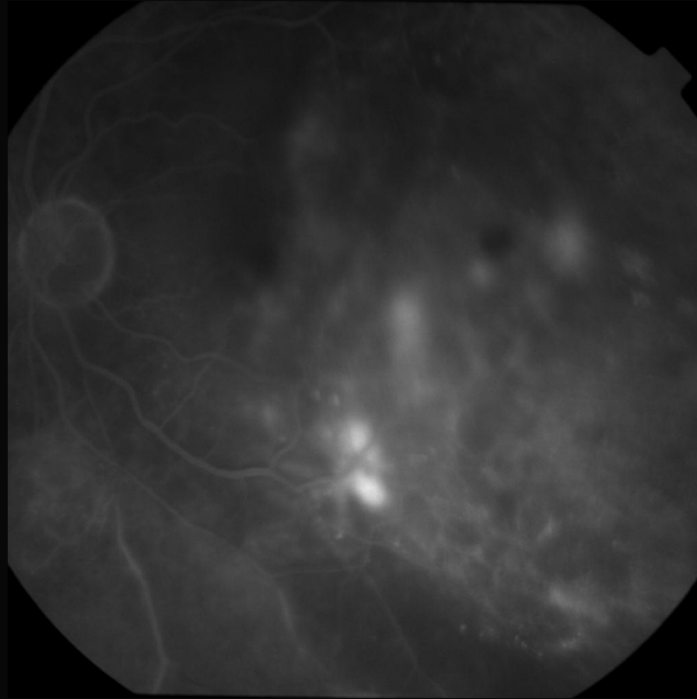
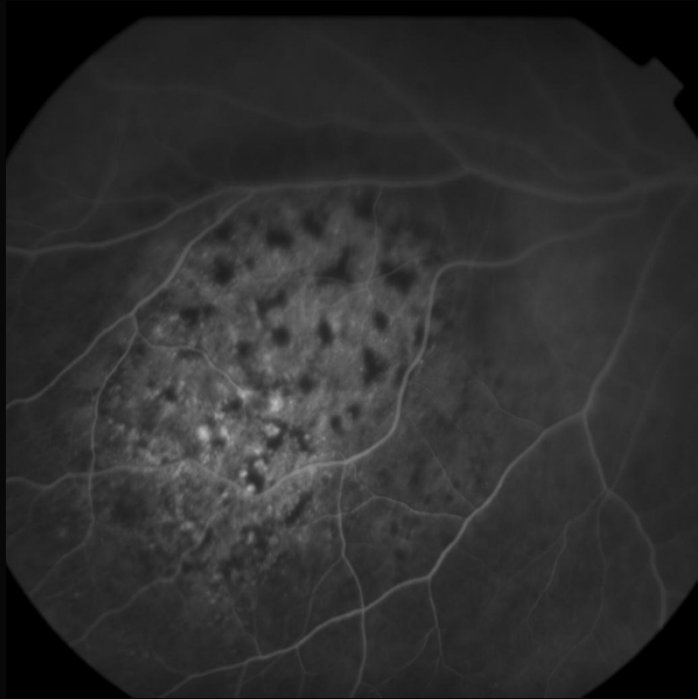
Reflettività







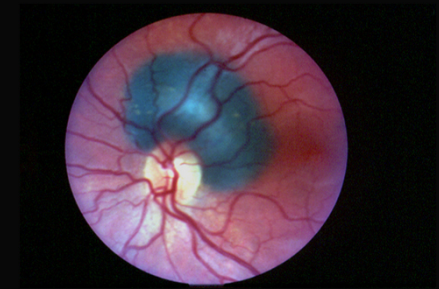
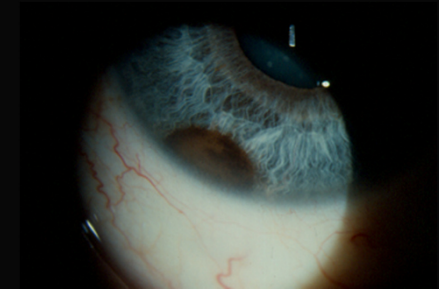
Angiografia



DIAGNOSI DIFFERENZIALE

Tumori

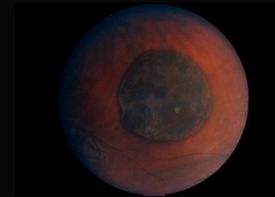
- Nevo
- Nevo sospetto
- Metastasi
- Angioma coroideale
- Osteoma
- Angioma retinico
- Melanocitoma
- Neurilemmoma
- Leiomioma
- Angioma cavernoso misto



DIAGNOSI DIFFERENZIALE

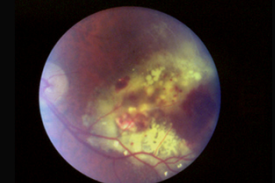
LESIONI dell'EPITELIO PIGMENTATO

Ipertrofia congenite
Iperplasia reattiva
Amartoma combinato



LESIONI VASCOLARI EMORRAGICHE

Degenerazione legata
all'età
(maculare/extramaculare
Distacco emorragico
retina e/o EP



DIAGNOSI DIFFERENZIALE

LESIONI INFIAMMATORIE

Sclerite posteriore

LESIONI CISTICHE

Retinoschisi

Cisti del corpo ciliare

DISTACCO DI RETINA

SINDROME DA
EFFUSIONE COROIDEALE

ALTRE

EPITELIO PIGMENTATO

Ipertrofia congenita

solitaria

multipla



Solitaria con iperpigmentazione

Lesione piatta o molto piatta, a margini netti, del diametro di 1-6 mm.

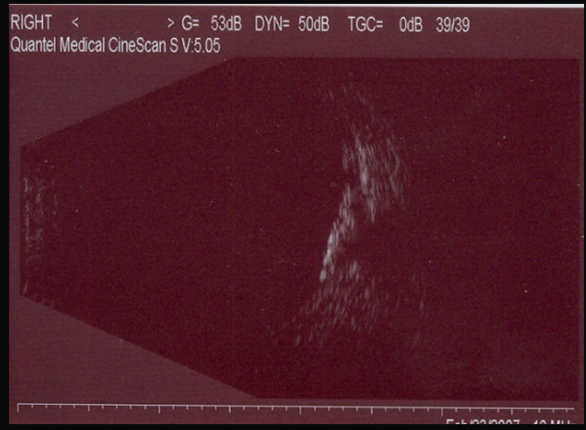
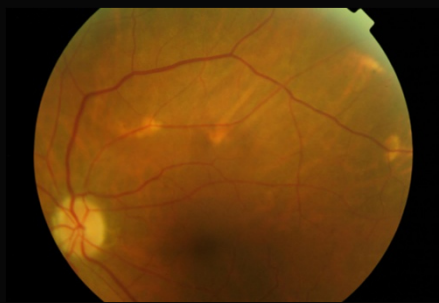
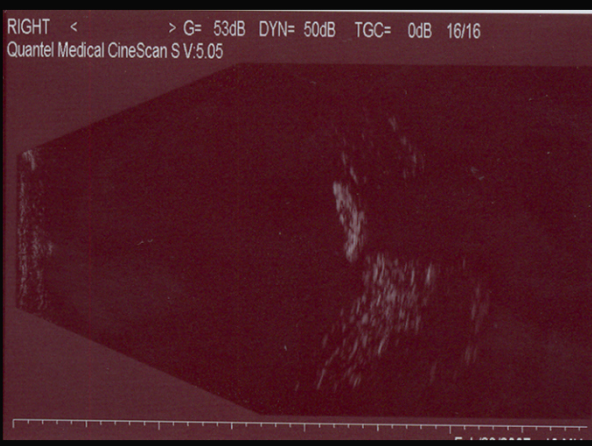
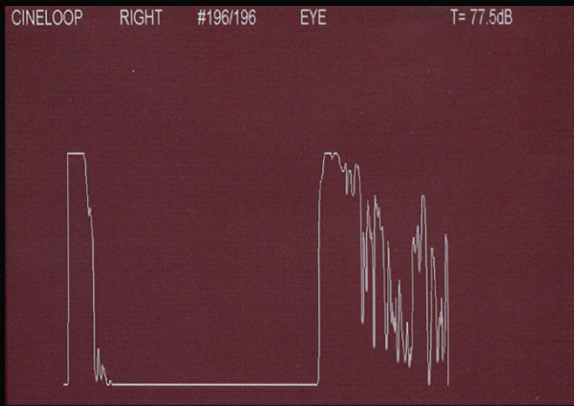
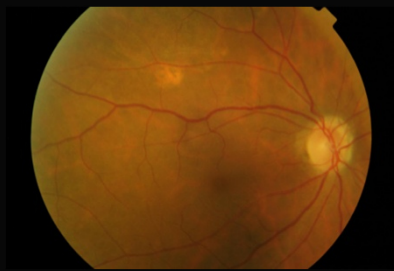
Area periferica senza iperpigmentazione

Aree di assenza di pigmento (i vasi retinici sono normali, effetto schetmo più o meno completo della coroide)

Nessuna o pochissima tendenza all'accrescimento

Forma multipla

Ad impronta d'orso (S. Di Gardner)

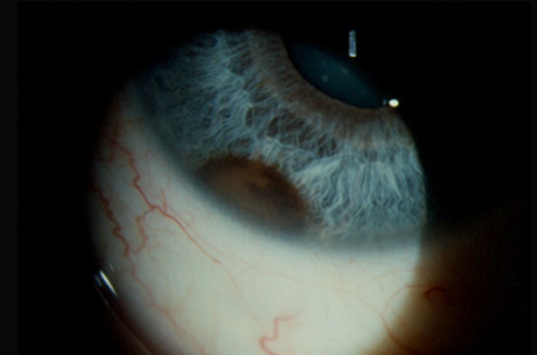


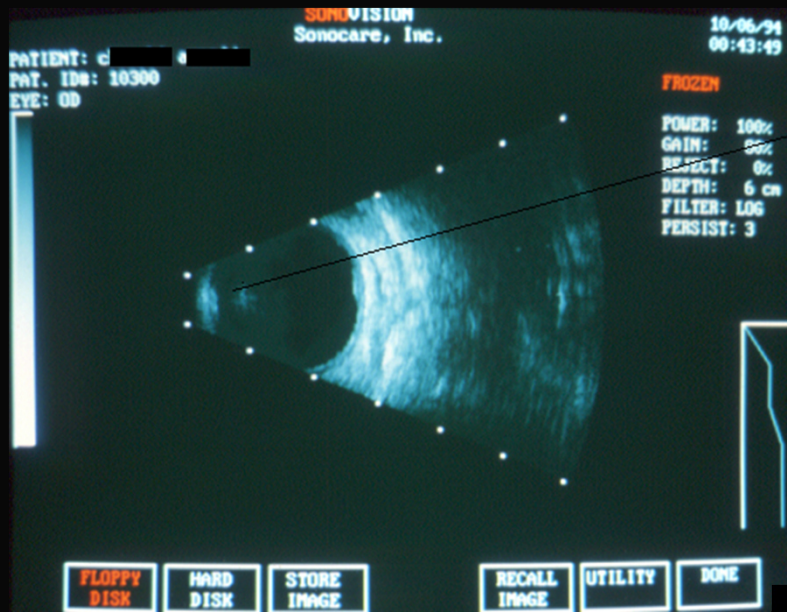
NEVO DELLA COROIDE

I nevi della coroide sono le neoformazioni di più frequente riscontro nella pratica clinica.

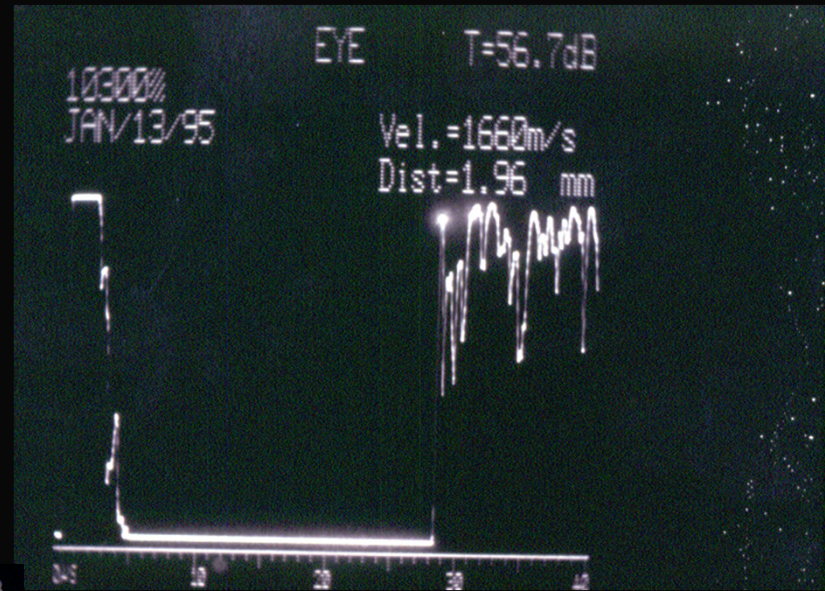
Di questi tumori benigni della coroide si conoscono molto bene le caratteristiche cliniche ed istologiche, tuttavia esistono ancora dubbi circa la patogenesi e la potenziale malignità.

Devono essere differenziati da tutte le altre lesioni pigmentate della coroide, in particolare dal melanoma maligno, dalle aree di ipertrofia dell'epitelio pigmentato e dalle efelidi coroideali.





C. A. 1995

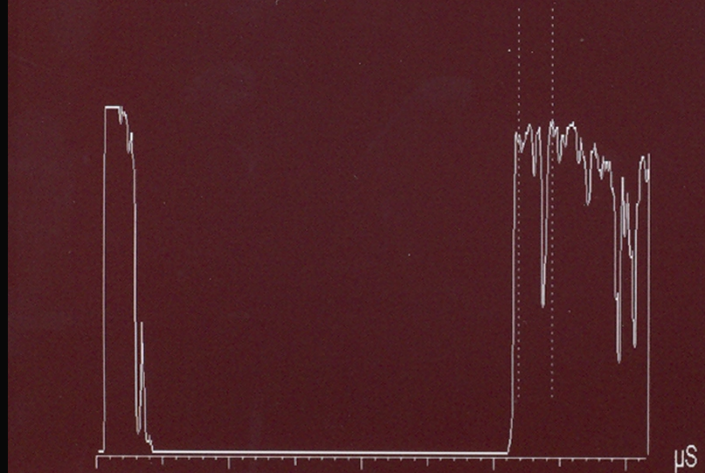


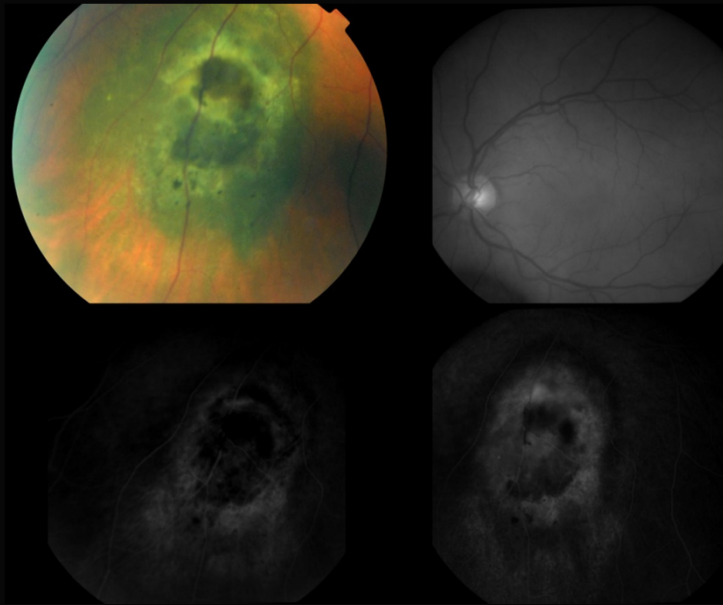
RIGHT < > G= 88dB DYN= 60dB TGC= 0dB 19/19
 Quantel Medical CineScan S V:5.05



C.A 2005

Bio2 Q-I K RIGHT #1 EYE T= 77.9dB
 Velocity (m/s) : 1660 Distance= 1.99mm
 Quant-I=94%
 AVG Height=87%



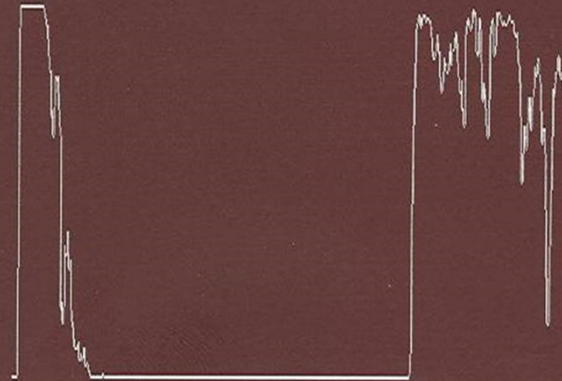


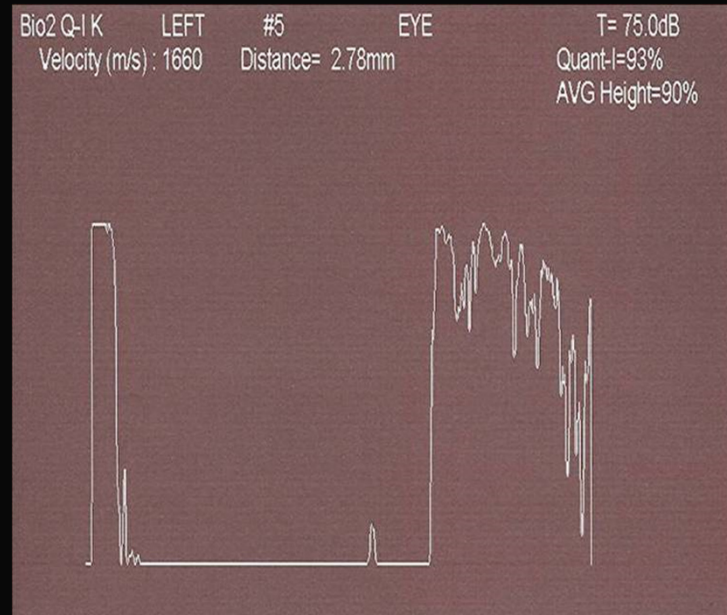
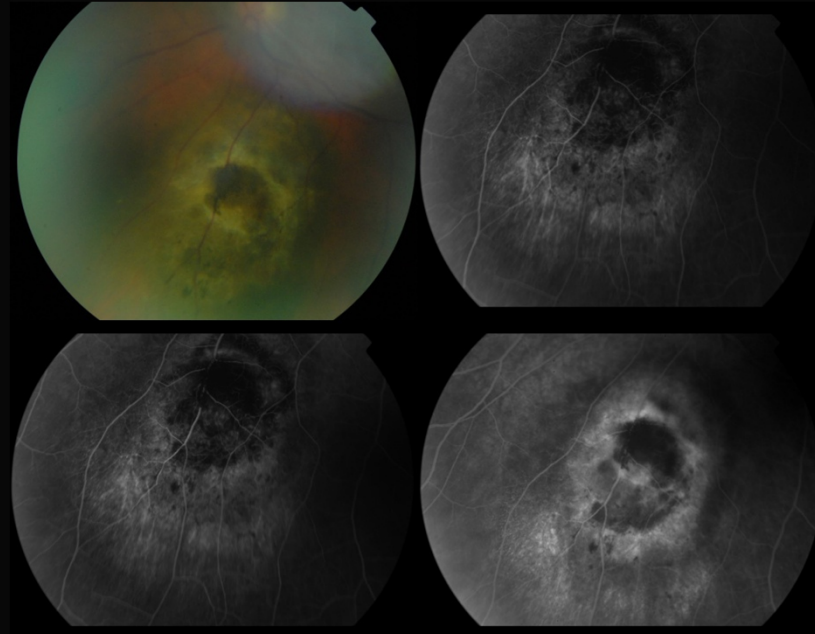
LEFT < > G= 80dB DYN= 50dB TGC=-10dB
Quantel Medical CineScan S V:5.03



July/30/2004 10 MHz

Bio2 Q-I K LEFT #1 EYE T= 77.9dB
Velocity (m/s) : 1660 Distance= 2.86mm
Quant-I=93%
AVG Height=90%





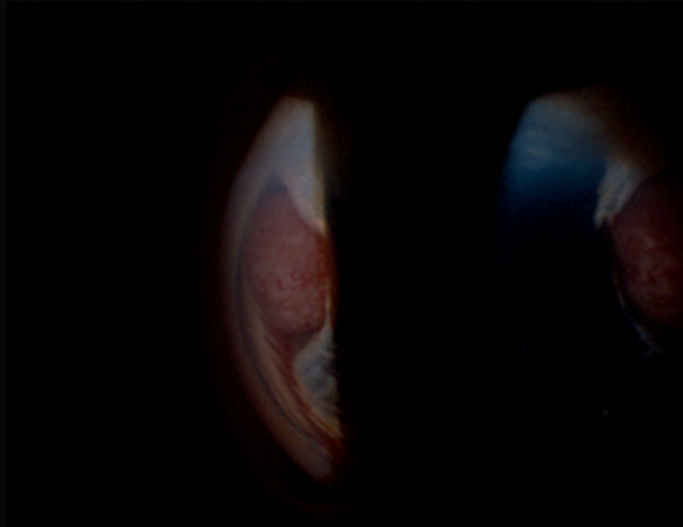
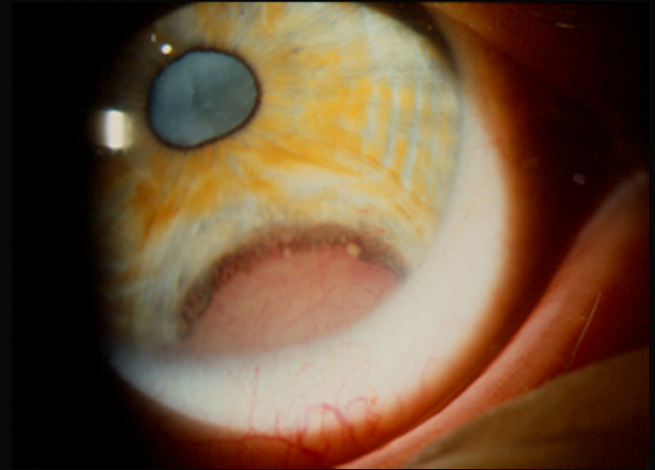
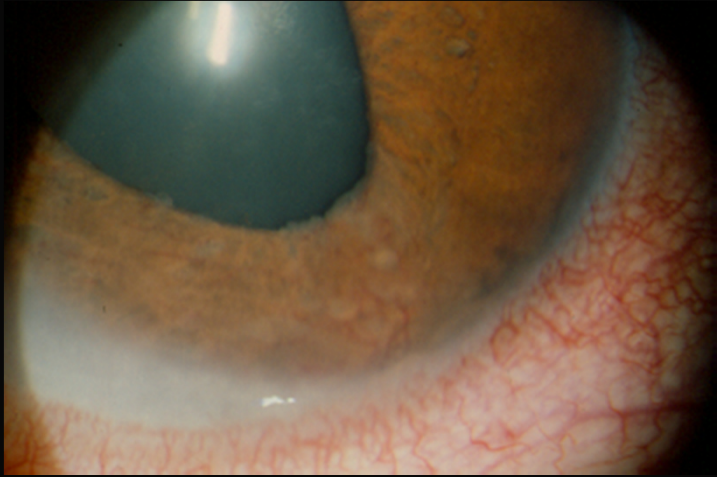
METASTASI COROIDEALI

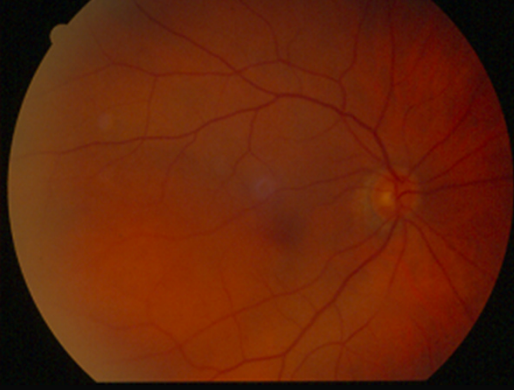
La morbilità e la mortalità dei pazienti affetti da neoplasie maligne sono la diretta conseguenza della capacità di diffusione e metastatizzazione dei tumori.



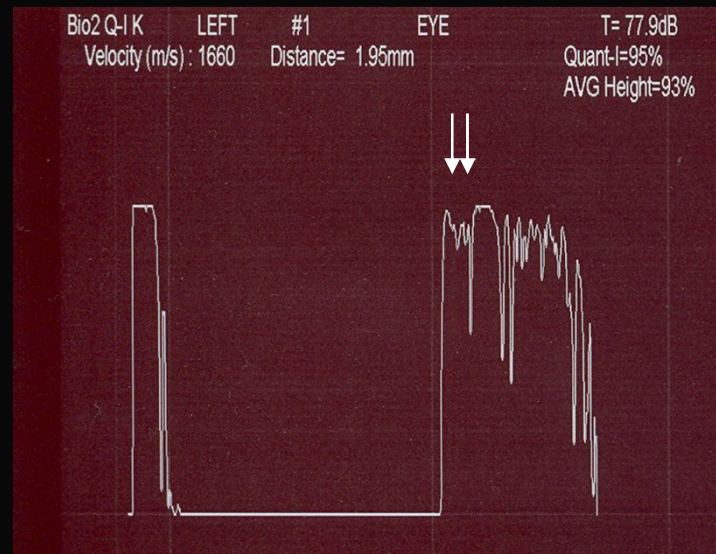
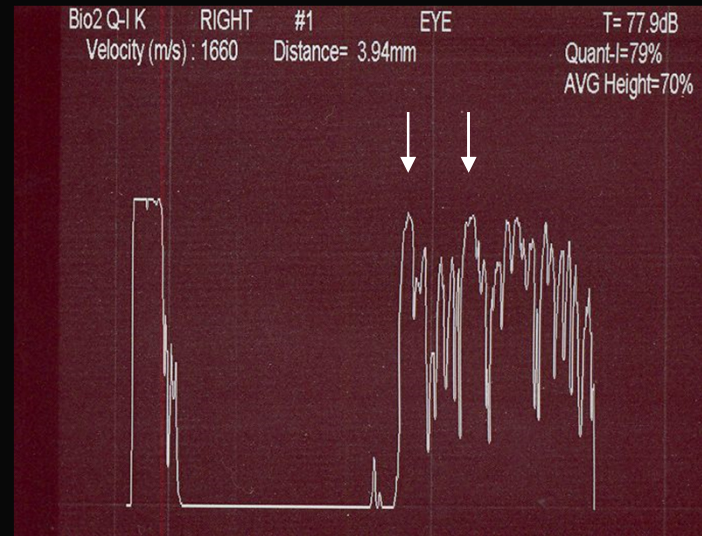
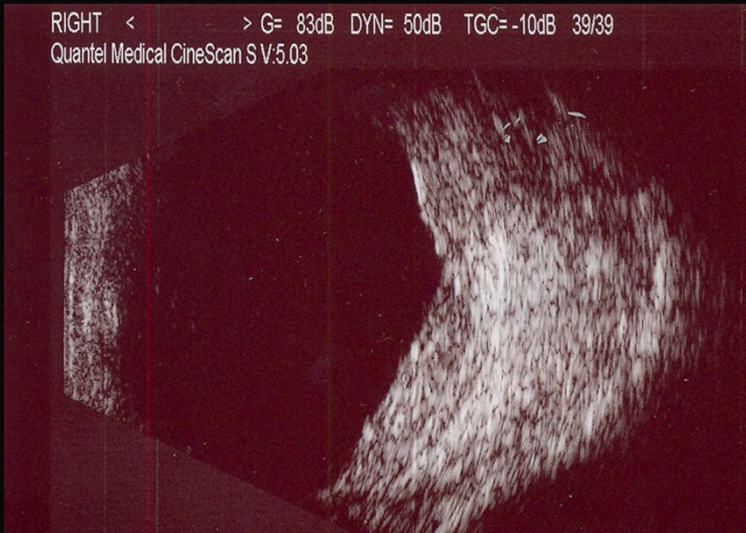
Nonostante le metastasi a livello oculare e degli annessi risultino più rare rispetto ad altre localizzazioni secondarie, **costituiscono la forma più comune di neoplasia a carico dell'occhio.**







0004

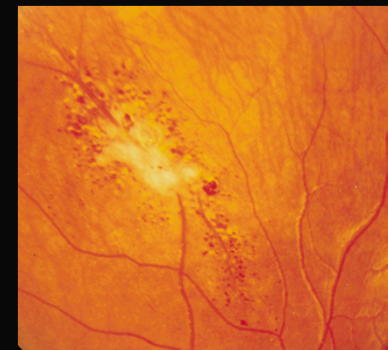
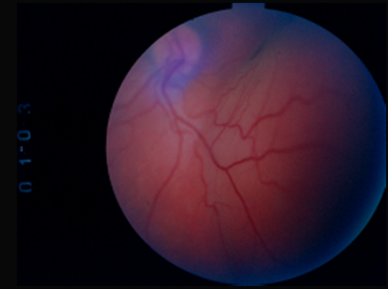


ANGIOMI CAVERNOSI DELLA COROIDE

L'angioma della coroide è un tumore benigno che si riscontra raramente nella popolazione, nel 65% dei casi come forma isolata o nel 35% in associazione con la sindrome di Struge Weber.

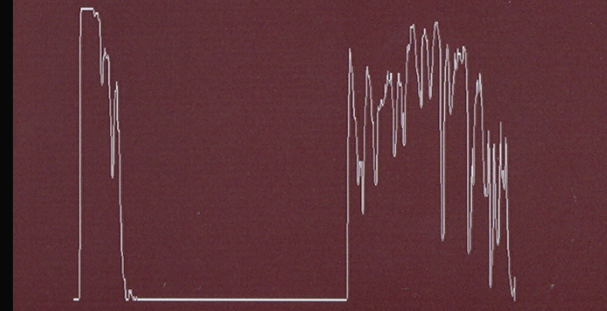
Le forme isolate sono generalmente di tipo cavernoso.

Nella sindrome di Struge Weber è più facile il riscontro di una lesione di tipo capillare, più estesa, a bordi non ben definiti, prevalentemente intracoroideale e piatta.

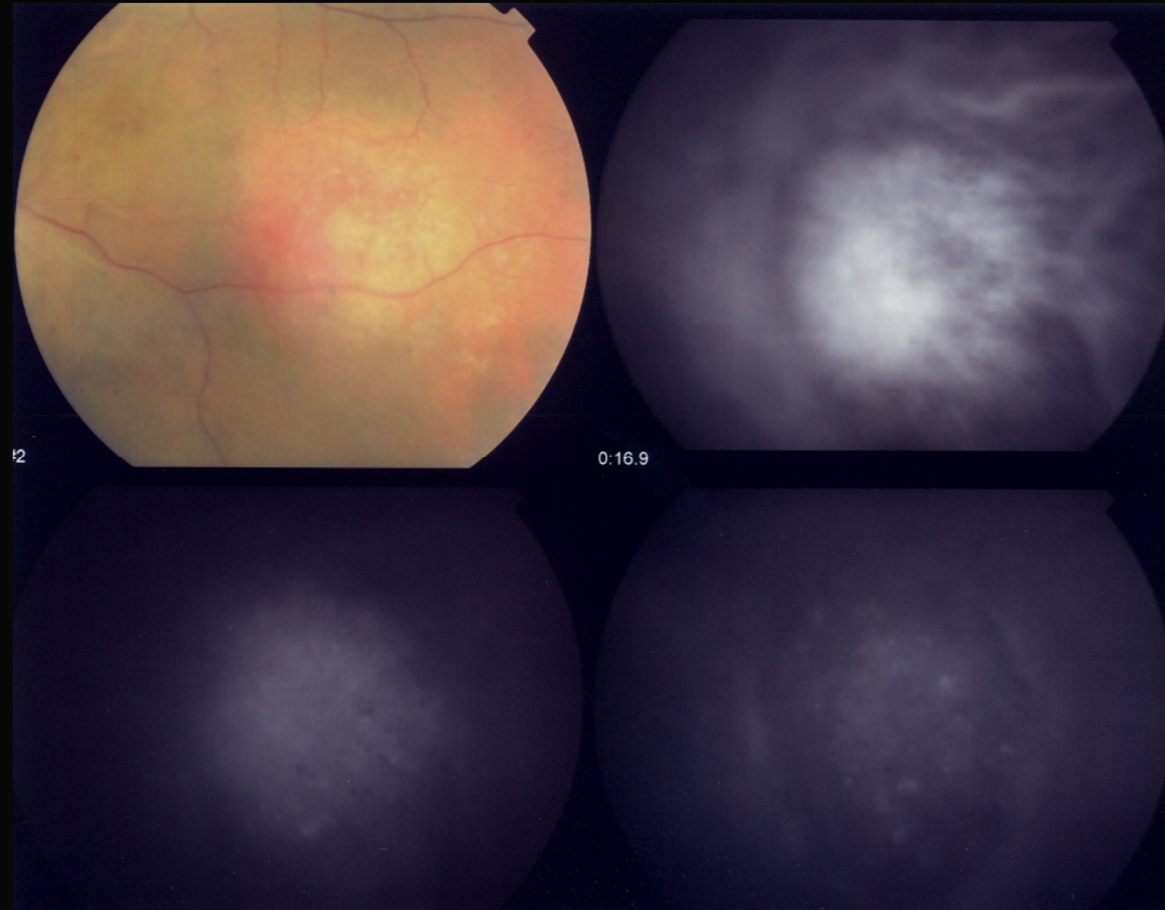




Bio2 Q-I K LEFT #4 EYE T= 75.0dB
Velocity (m/s) : 1660 Distance= 4.26mm Quant-I=75%
AVG Height=68%



ICG



TRATTAMENTO

- OSSERVAZIONE

- TERAPIA DEMOLITIVA

Enucleazione

Exenteratio orbitae

- TERAPIA CONSERVATIVA

OSSERVAZIONE

Piccole lesioni sospette senza crescita documentata

Volontà del paziente

To Find Small Ocular Melanoma

T thickness **Spessore**

F fluid **liquido sottoretinico**

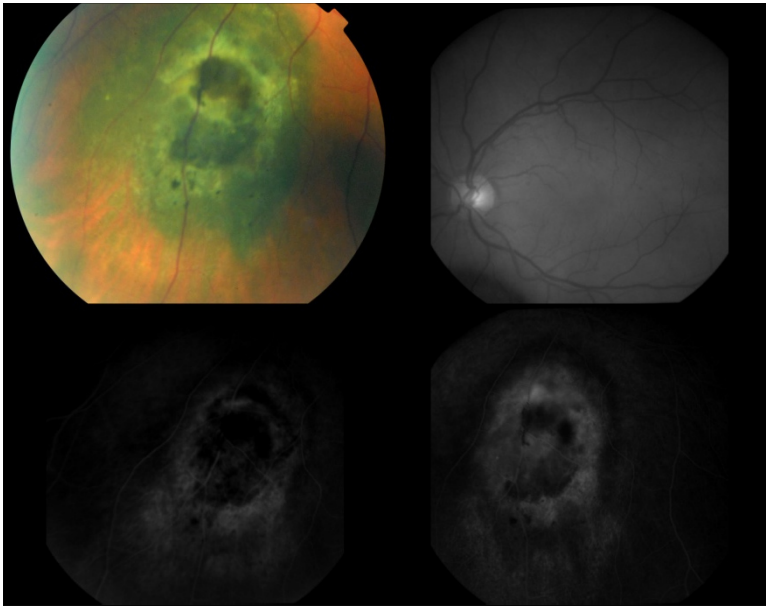
S symptom **sintomi**

O orange pigment **pigmento arancio**

M margin touching optic disc **marginie tangente alla papilla**

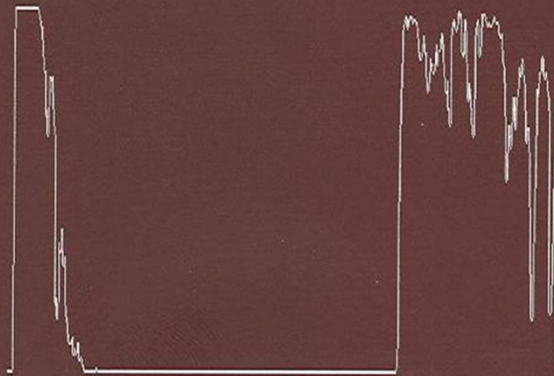
U ultrasonographic hollowness **vuoto acustico**

A absence of halo **Assenza di alone**



2004

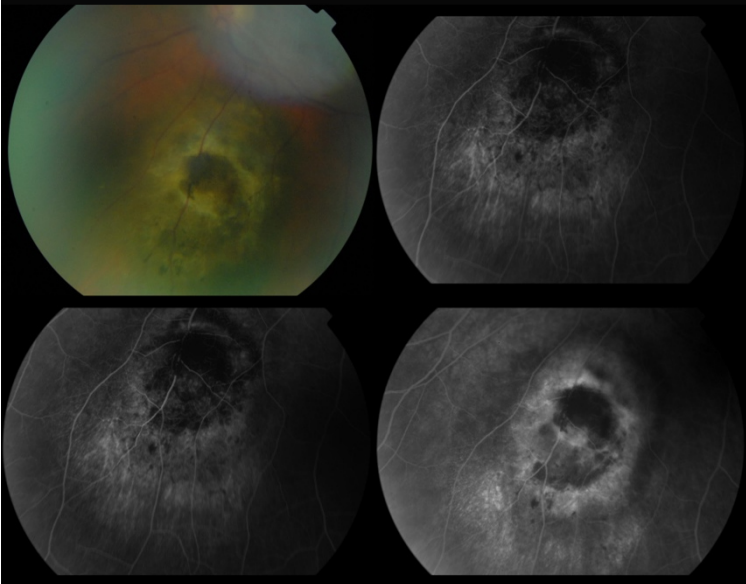
Bio2 Q-I K LEFT #1 EYE T= 77.9dB
Velocity (m/s) : 1660 Distance= 2.86mm Quant-I=93%
AVG Height=90%



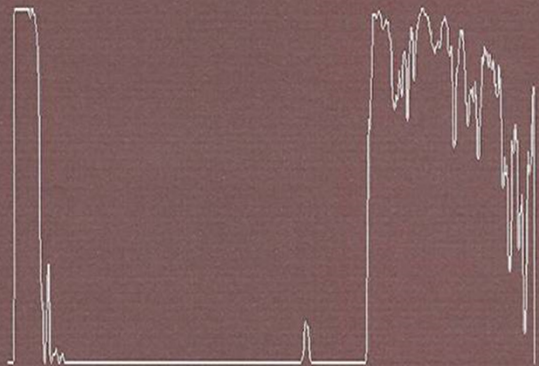
LEFT < > G= 80dB DYN= 50dB TGC= -10dB
Quantel Medical CineScan S V:5.03



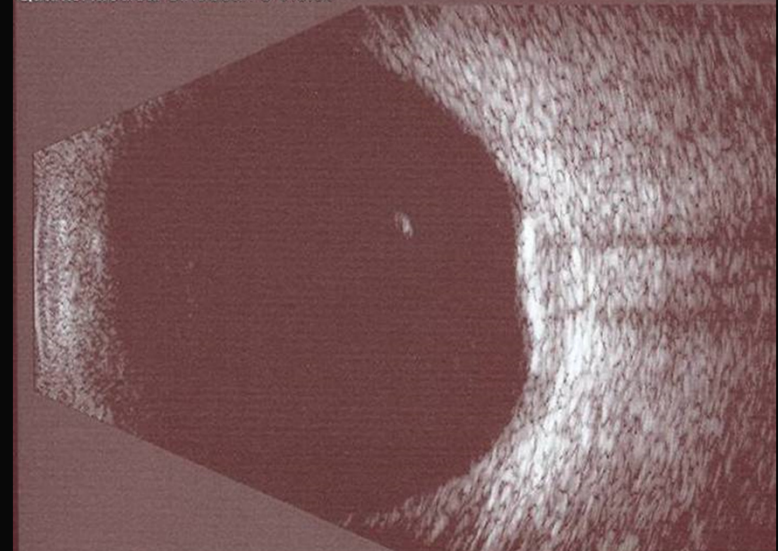
2011



Bio2 Q-I K LEFT #5 EYE T= 75.0dB
Velocity (m/s) : 1660 Distance= 2.78mm
Quant-I=93%
AVG Height=90%



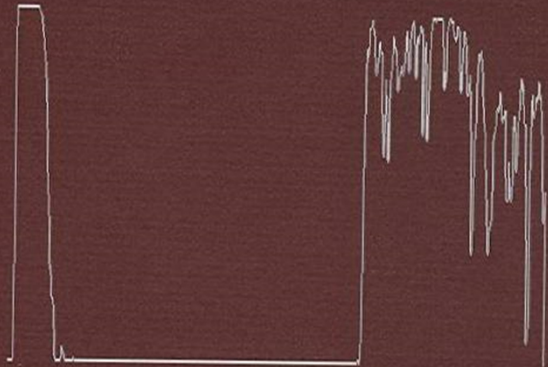
LEFT < > G= 83dB DYN= 60dB TGC= -10dB 39/39
Quantel Medical CineScan S V:5.06





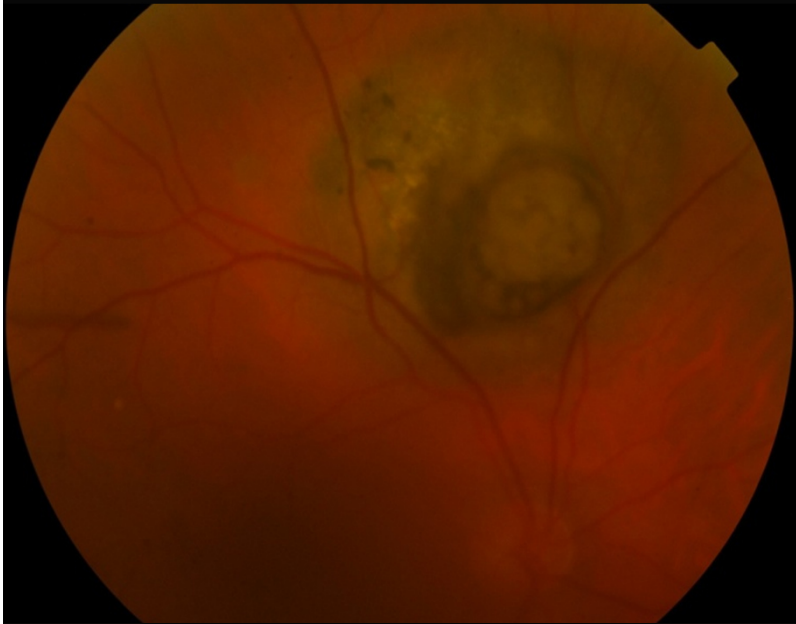
2009

Bio2 Q-I-K RIGHT #1 EYE T= 77.5dB
Velocity (m/s) : 1660 Distance= 2.53mm
Quant-I=91%
AVG Height=86%



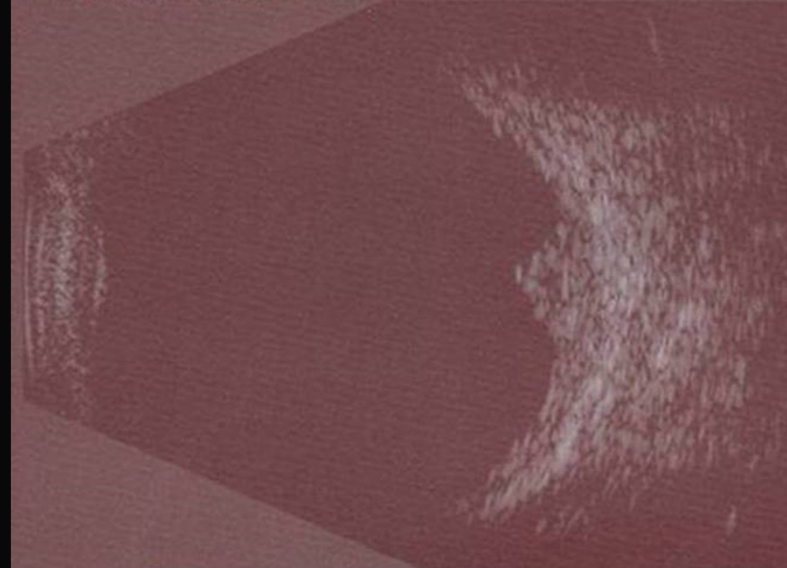
RIGHT < > G= 80dB DYN= 50dB TGC=-10dB 19/19
Quantel Medical CineScan S V:5.05



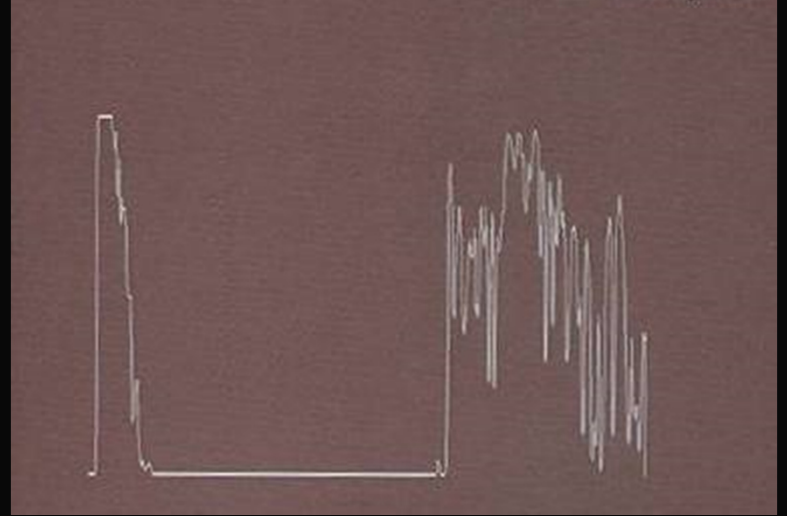


2011

RIGHT < > G= 80dB DYN= 60dB TGC= -10dB 39/39
Quantel Medical CineScan S V:5.06

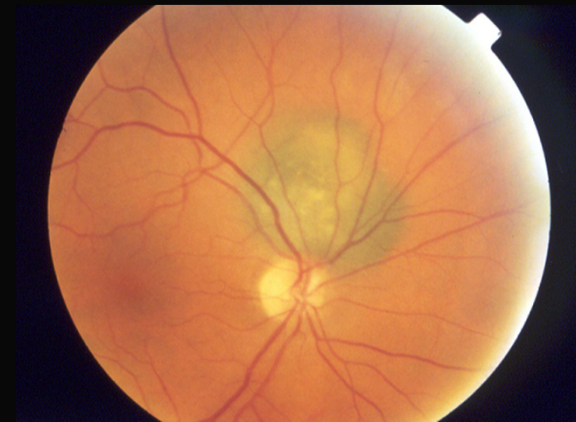
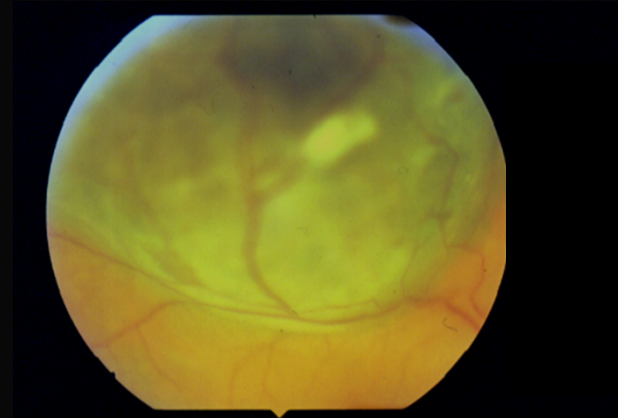


Bio2 Q-I K RIGHT #6 EYE T= 75.0dB
Velocity (m/s) : 1660 Distance= 2.94mm
Quant-I=73%
AVG Height=64%



TERAPIA DEMOLITIVA

- Estrinsecazione extrabulbare
- Lesioni di grosse dimensioni con complicanze
- Lesioni coinvolgenti la papilla ottica
- Volontà del paziente



TERAPIA CONSERVATIVA

TERAPIA CONSERVATIVA

Tasso di sopravvivenza
(a 10 anni)

- 81% Enucleazione
- 82% Brachiterapia

Prognosi (Mortalità)

- 35% a 5 anni
- 57% a 10 anni
- 60% a 25 anni

La terapia conservativa in Italia



OBIETTIVI DELLA TERAPIA CONSERVATIVA

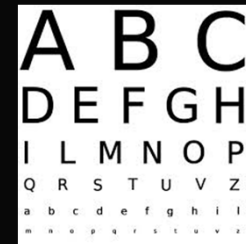
- **DISTRUZIONE DEL TUMORE**



- **MANTENIMENTO DELL'INTEGRITA' ANATOMICA**



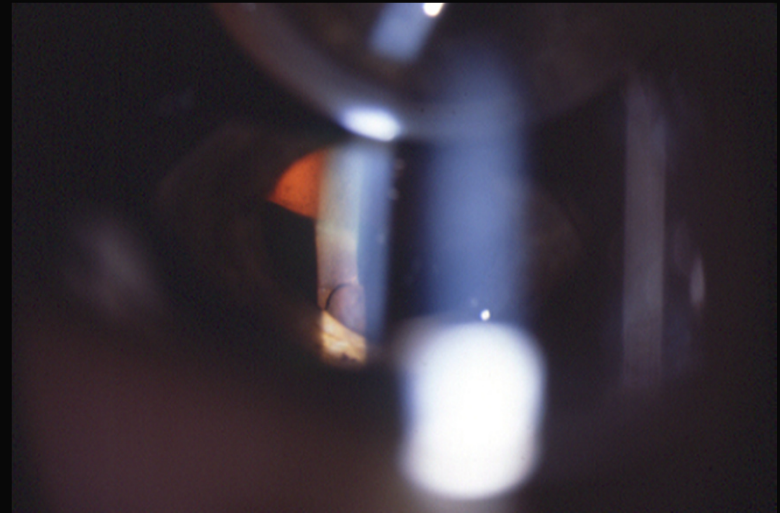
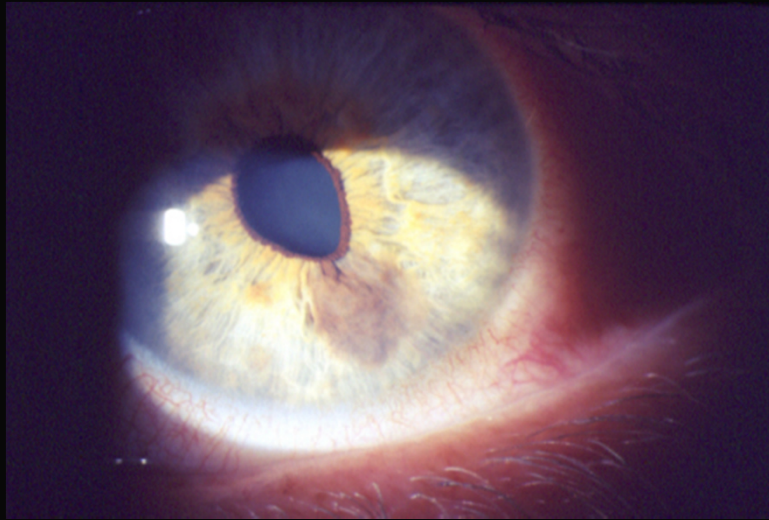
- **MANTENIMENTO DELLA FUNZIONE VISIVA**



TERAPIA CONSERVATIVA

- Tumorectomia
- TTT
- Acceleratore lineare di particelle
- Brachiterapia
- Altre

TUMORECTOMIA



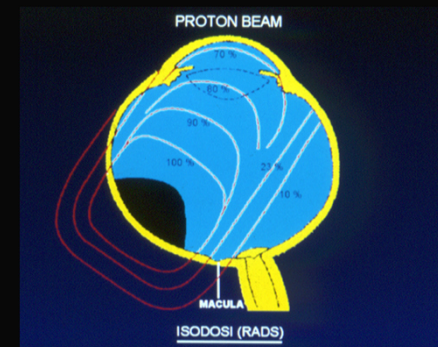
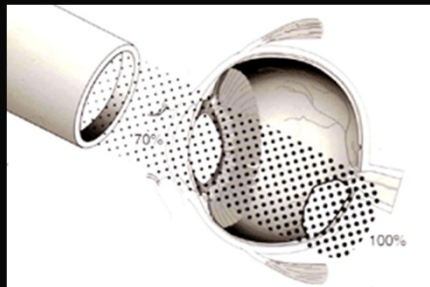
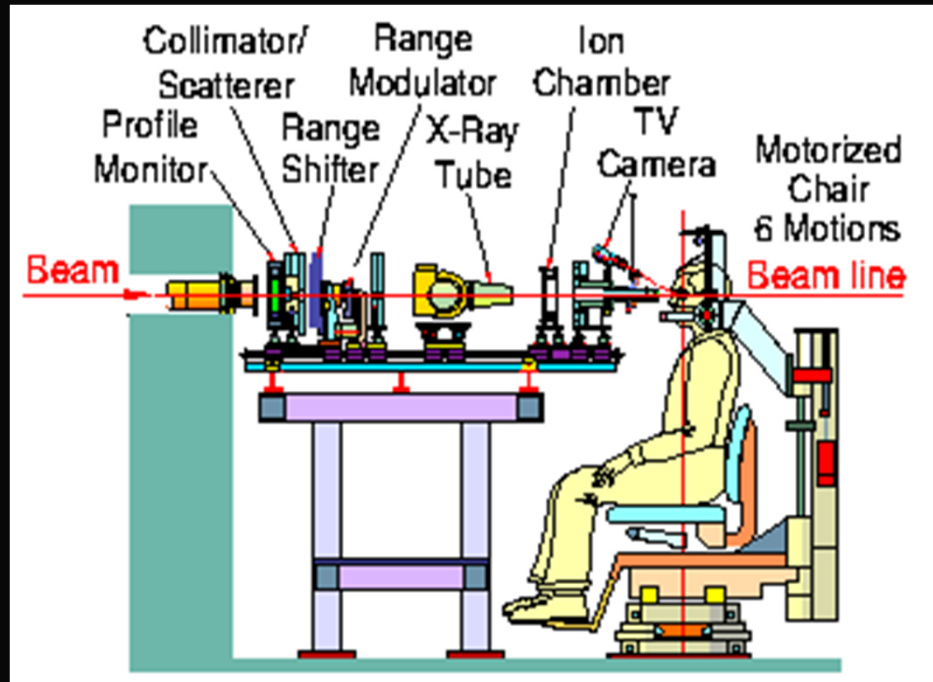
TermoTerapia Trans Pupillare

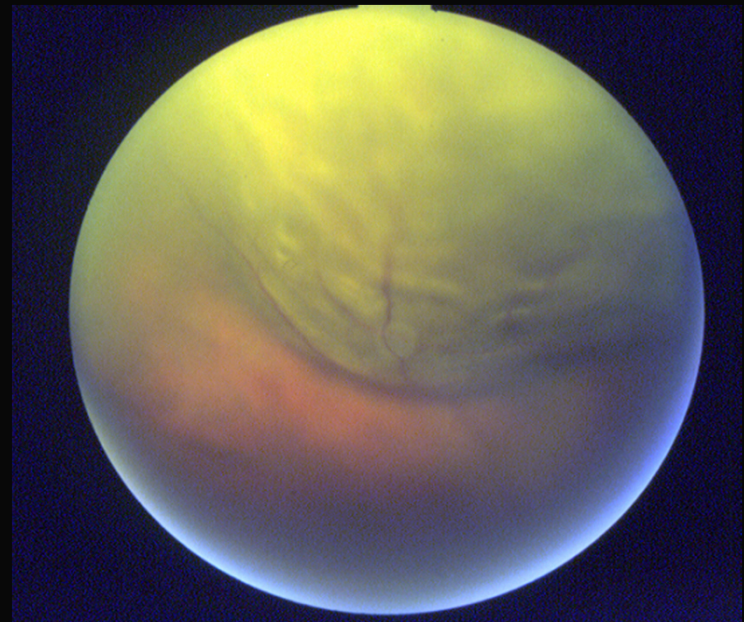
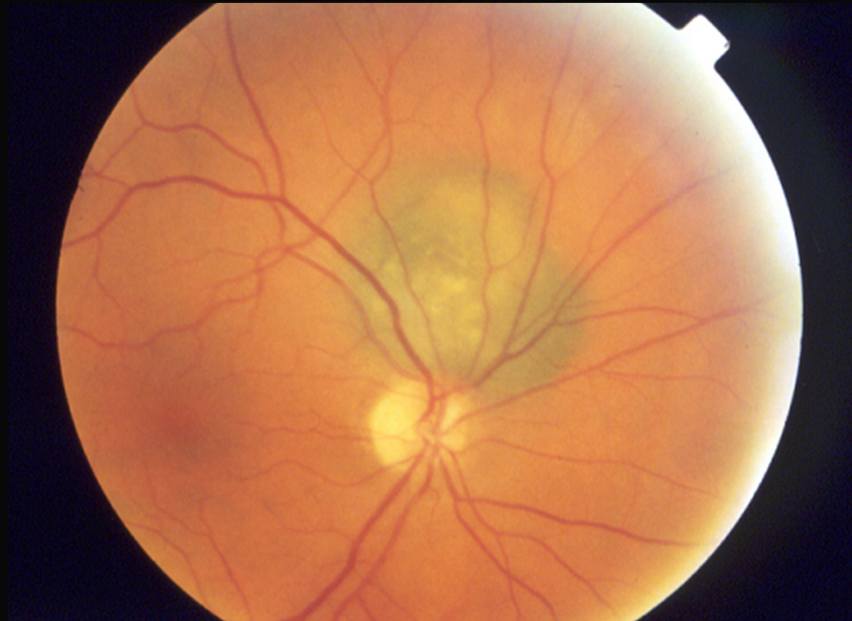
TTT

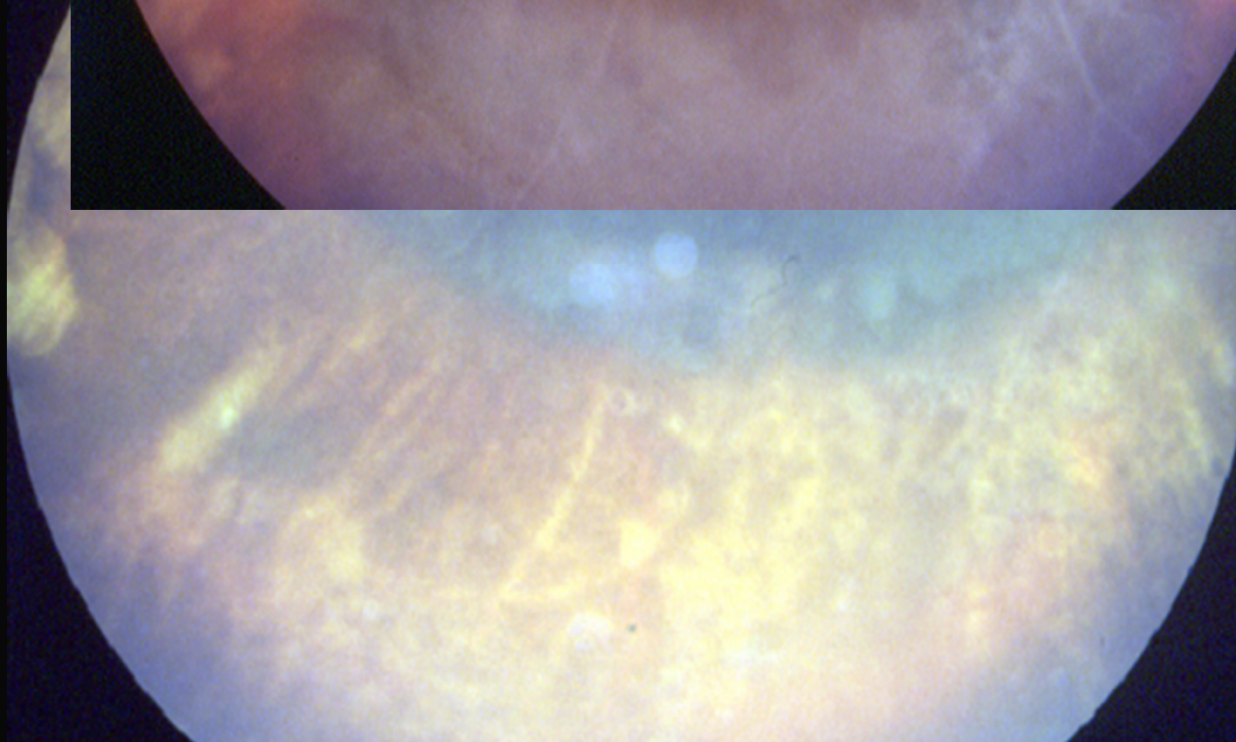
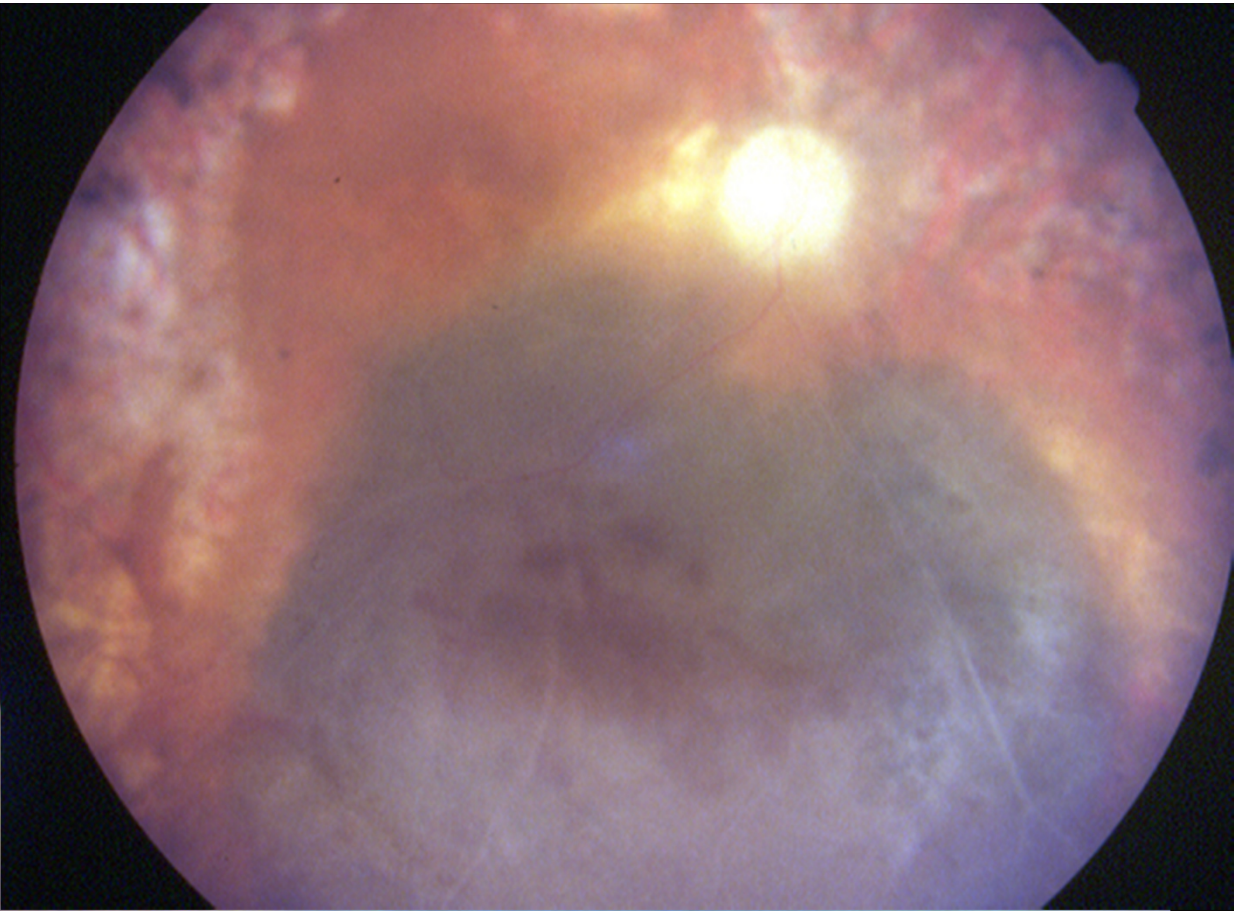
- Tumori al polo posteriore
- Spessore inferiore o uguale a 3 mm
- **Terapia sandwich**



ACCELERATORE LINEARE







BRACHITERAPIA

(CO60,I125,RU106,PD103)

Il termine brachiterapia deriva dal greco antico *brakiùs* (corto, corta distanza in questo caso).

Una placca radioattiva emanante un'alta concentrazione di dose radiante viene applicata sulla sclera in corrispondenza della lesione tumorale

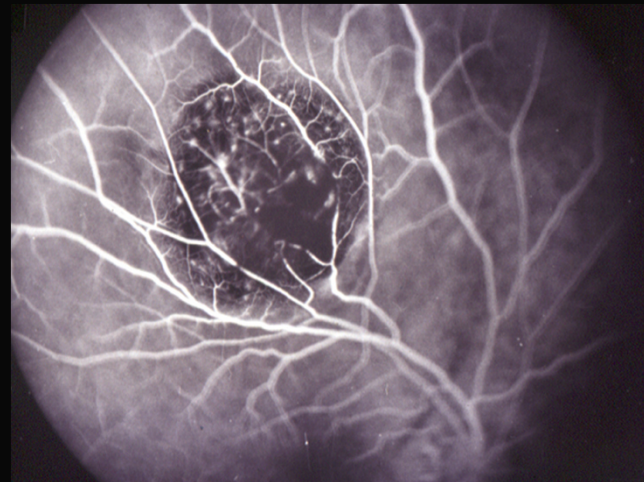
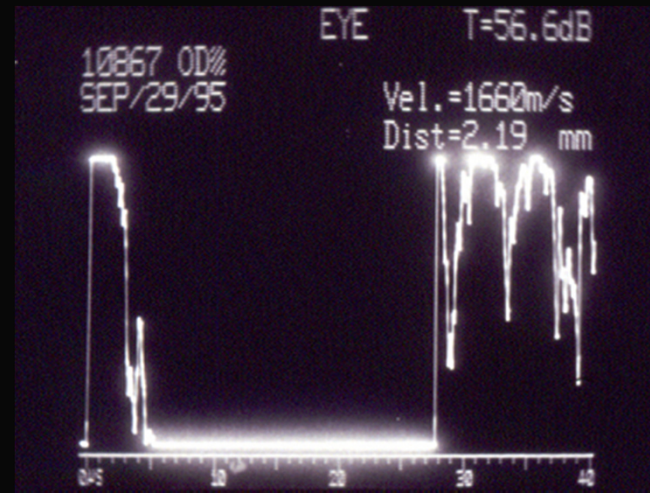
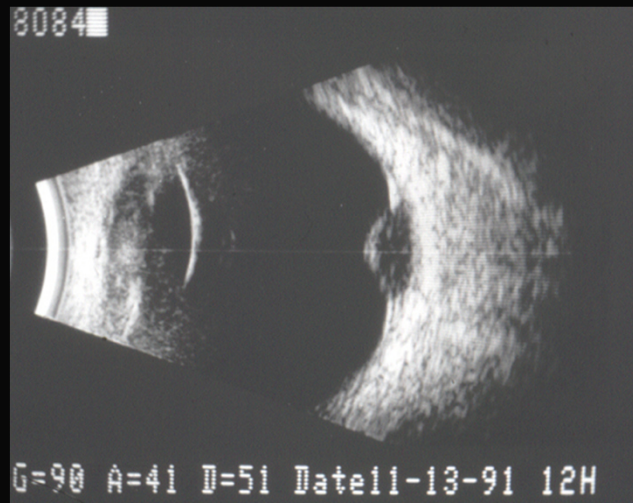
Risparmiando con relativa efficacia i tessuti sani circostanti.

Scelta del Radionuclide

Simbolo	Emivita	Energia media	Dose/superficie	Dose/superficie in acqua	Costo
Co-60	5.26 anni	1.25	1.2	108	basso
I-125	59.6 gg	0.028	0.002	20	medio
Ru/Rh-106	367 gg	3.5	E=1800mg/cm ²	24	alto
Pd-103	17 gg	0.021	0.0004	15	medio

CRITERI DI CLASSIFICAZIONE CLINICA DEL MELANOMA DELL'UVEA

	BASE D'IMPIANTO (mm)	SPESSORE (mm)
MOLTO PICCOLO	INFERIORE O UGUALE A 7	INFERIORE O UGUALE A 2
PICCOLO	MAGGIORE DI 7 FINO A 10	MAGGIORE DI 2 FINO A 3
MEDIO	MAGGIORE DI 10 FINO A 15	MAGGIORE DI 3 FINO A 5
GRANDE	MAGGIORE DI 15	MAGGIORE DI 5



Fattori importanti per la prognosi

- Acuità visiva pre-trattamento
- Altezza e dimensioni melanoma pre-trattamento
- Distacco di retina
- Diabete

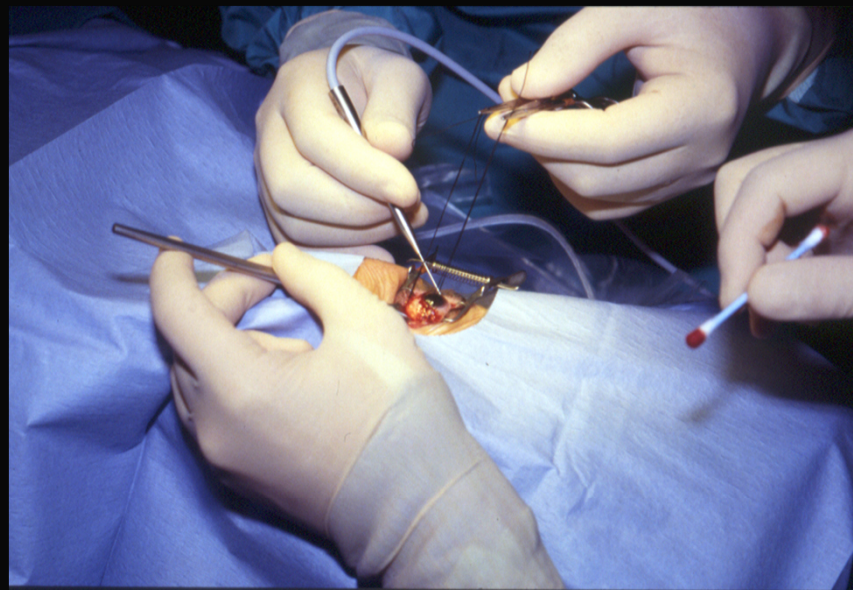
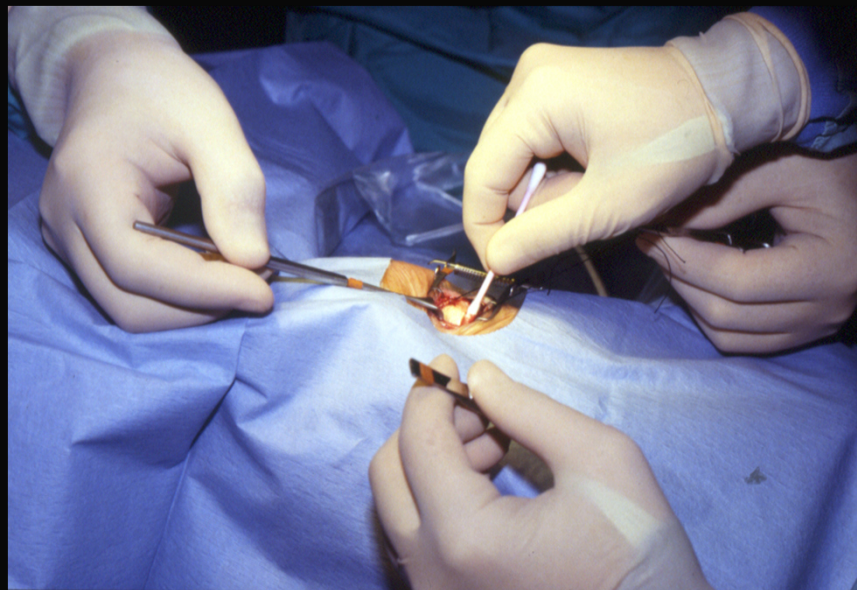
Localizzazioni secondarie (Metastasi)

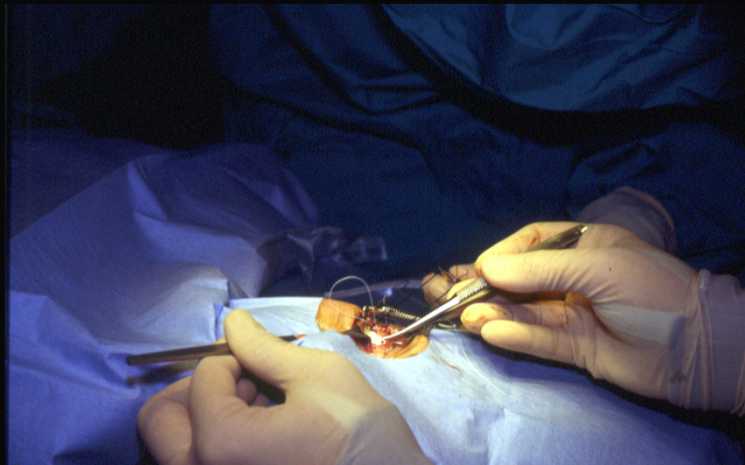
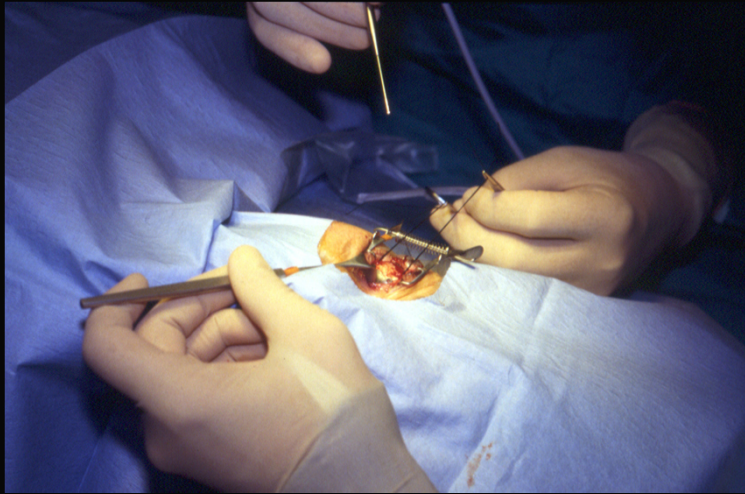
- Fegato (92%)
- Polmone (31%)
- Scheletro (23%)
- Cute (17%)
- S N C (4%)

Tempo di comparsa: da 2 mesi a 30 anni

ESAMI PRELIMINARI

- **ECOGRAFIA EPATICA**
- TRANSAMINASI
- GAMMA-GLUTAMIL TRASFERASI
- FOSFATASI ALCALINA
- QUADRO SIEROPROTEICO
- FERRITINA
- RX TORACE
- SCINTIGRAFIA TOTAL BODY





PROTOCOLLO DEI CONTROLLI POST TRATTAMENTO

OFTALMOSCOPIA

- 1 MESE

ECOGRAFIA

- 3 MESI

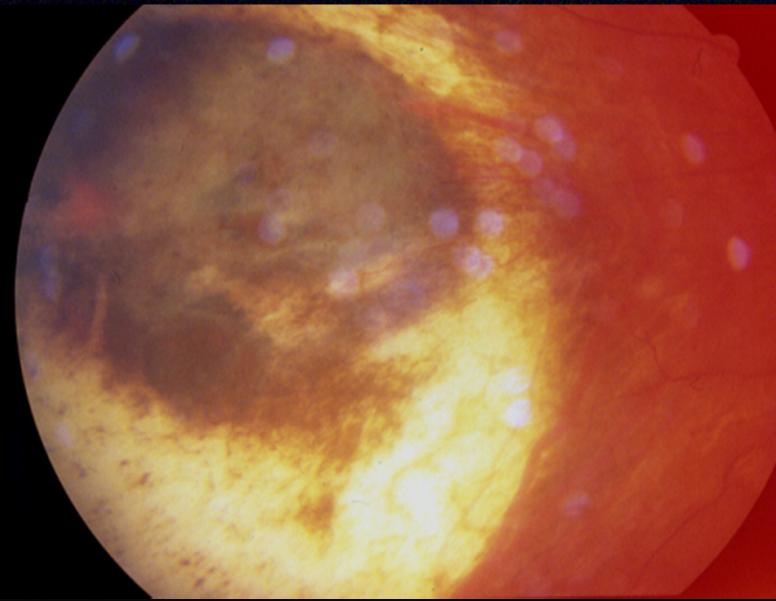
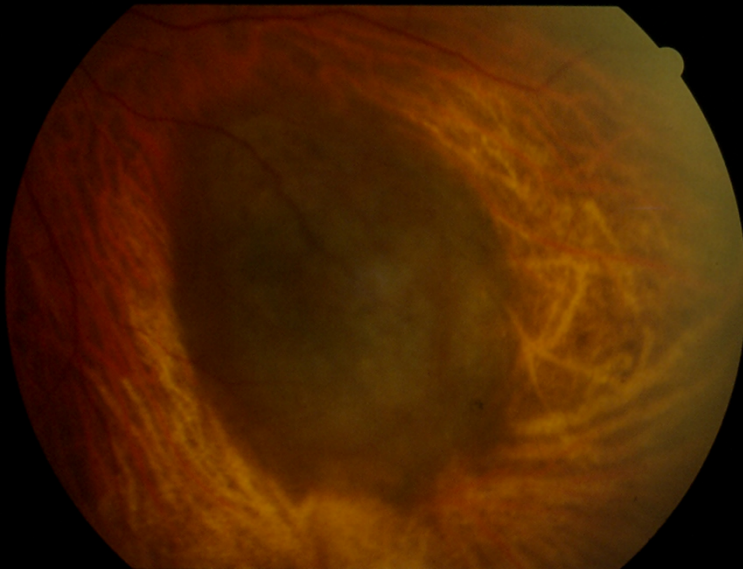
FLUORANGIOGRAFIA

- OGNI 3 MESI PER I PRIMI 2 ANNI

- OGNI 6 MESI FINO A CINQUE ANNI

OFTALMOSCOPIA

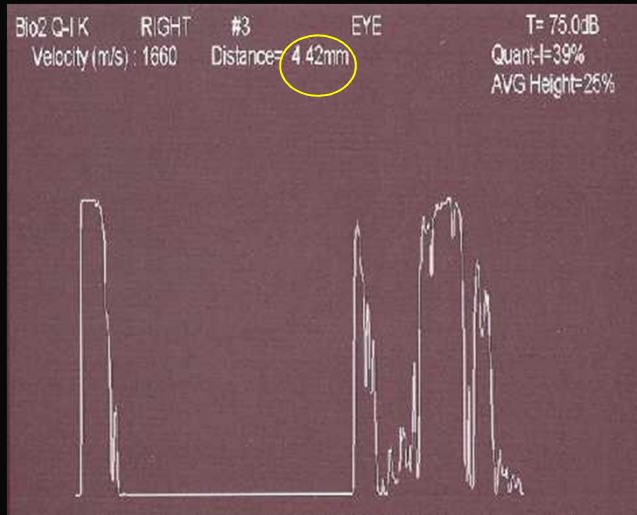
OFTALMOSCOPIA



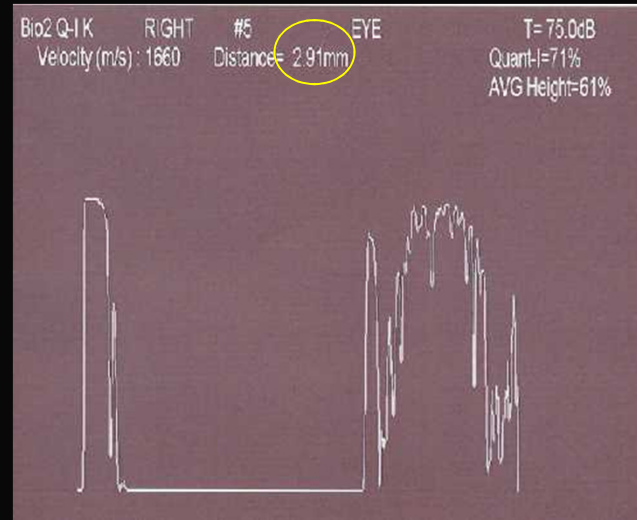
ECOGRAFIA

Spessore

Reflettività



A-scan: lesione a riflettività interna bassa
 Compatibile con Melanoma della Coroide.
 Biometria



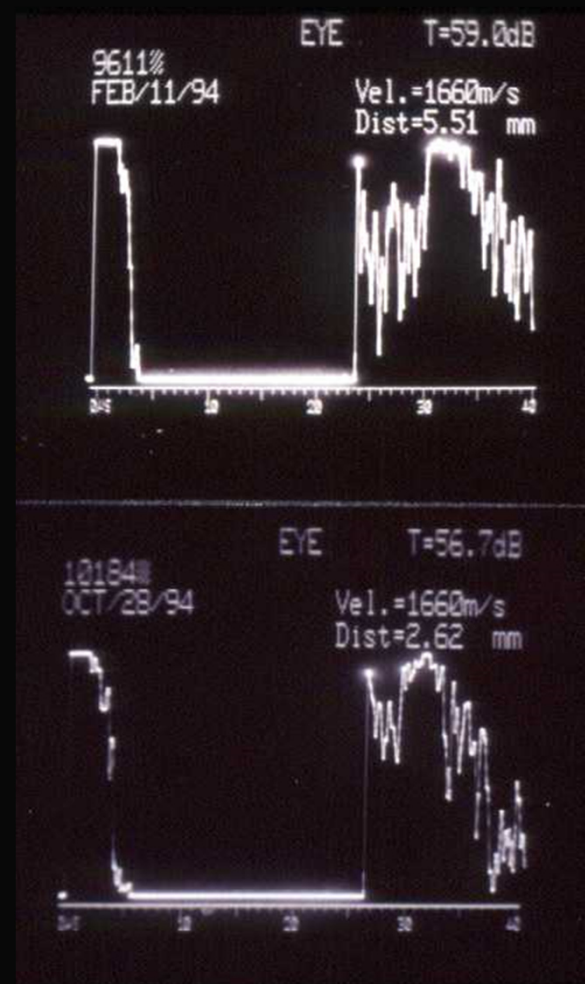
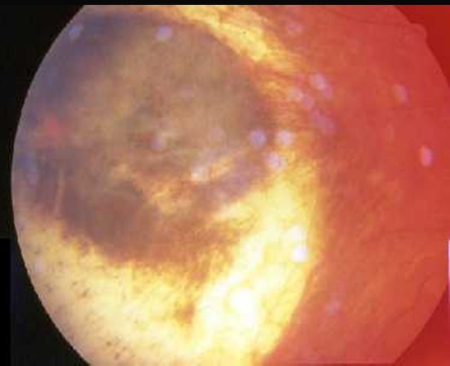
A-scan follow-up (6mesi): Riduzione dello
 spessore aumento della riflettività interna. Buoni
 indici di regressione



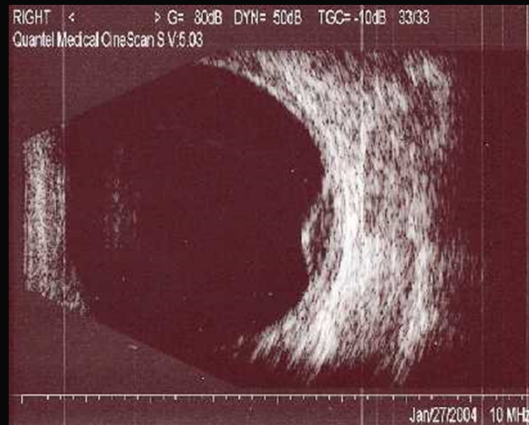
B-scan: lesione solida cupoliforme con evidente
 "escavazione coroideale" buona trasmissione del
 suono compatibile con Melanoma della Coroide.
 Misura della base di impianto



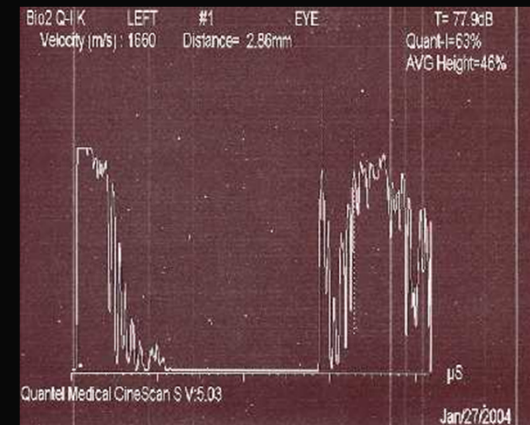
B-scan follow-up (6 mesi): Riduzione delle
 dimensioni aumento dell' ecogenicità scomparsa
 dell'escavazione. Buoni indici di regressione



COR. Gennaio 2004



B-scan: lesione solida cupoliforme con evidente "escavazione coroideale" buona trasmissione del suono compatibile con Melanoma della Coroide.

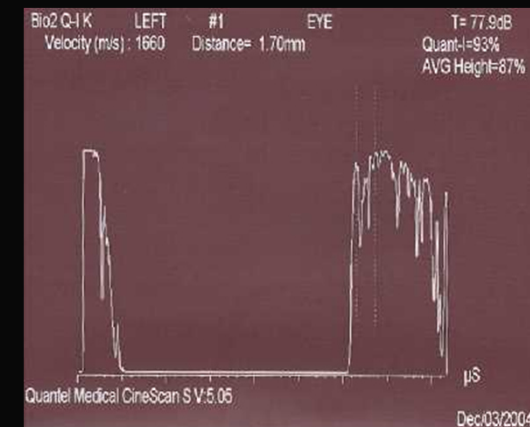


A-scan: lesione a riflettività interna bassa
Compatibile con Melanoma della Coroide.
Biometria

COR. Dicembre 2004

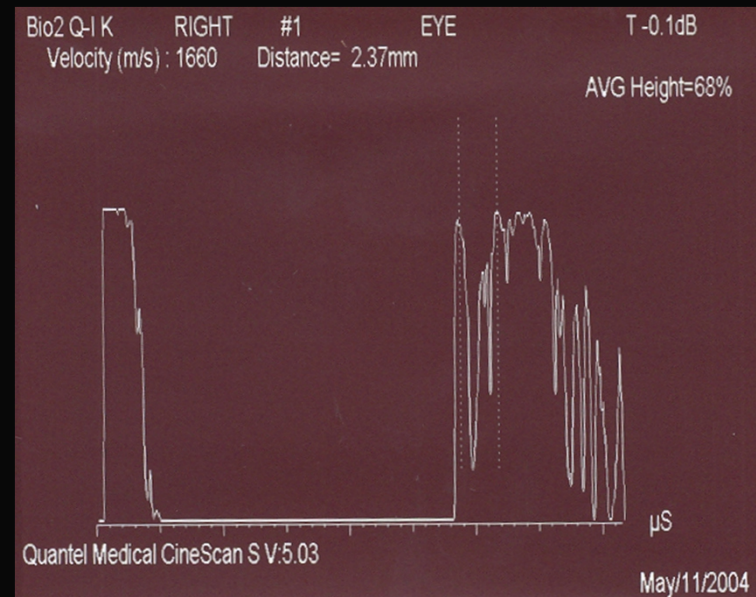


B-scan follow-up (1 anno): Riduzione delle dimensioni aumento dell' ecogenicità scomparsa dell'escavazione. Buoni indici di regressione

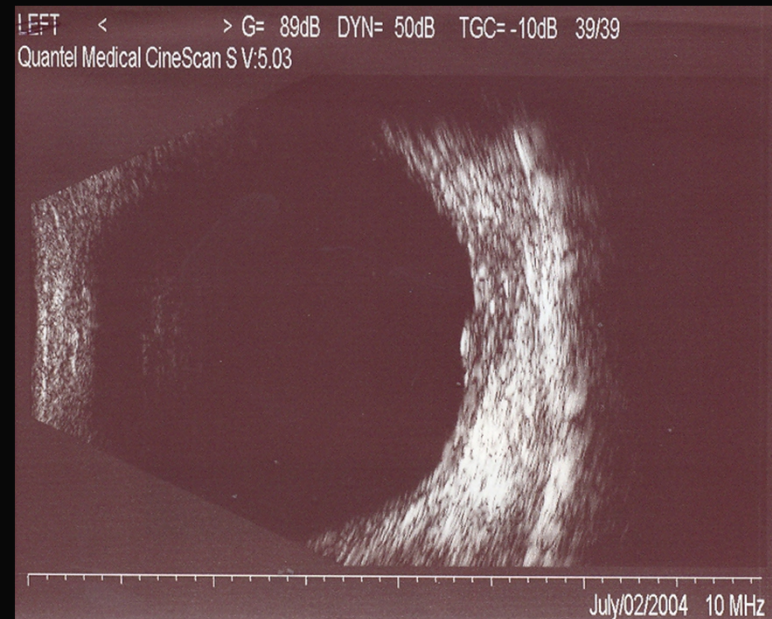
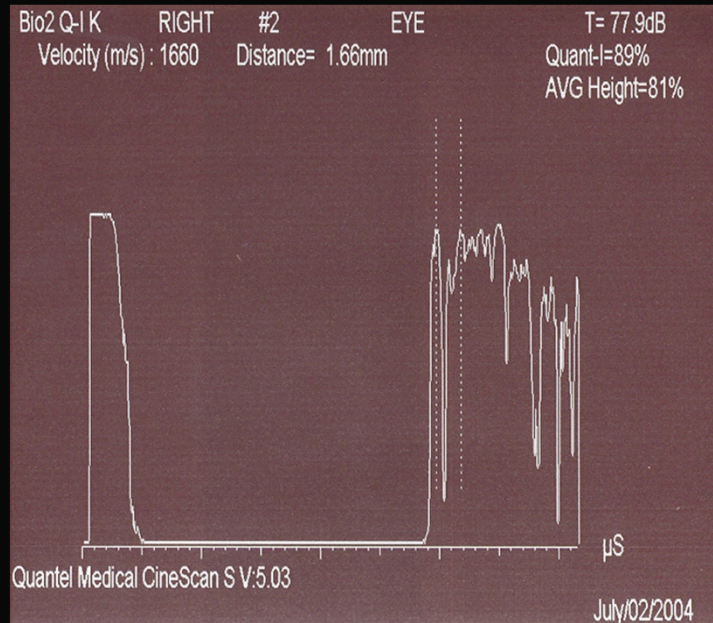


A-scan follow-up (1 anno): Riduzione dello spessore aumento della riflettività interna. Buoni indici di regressione

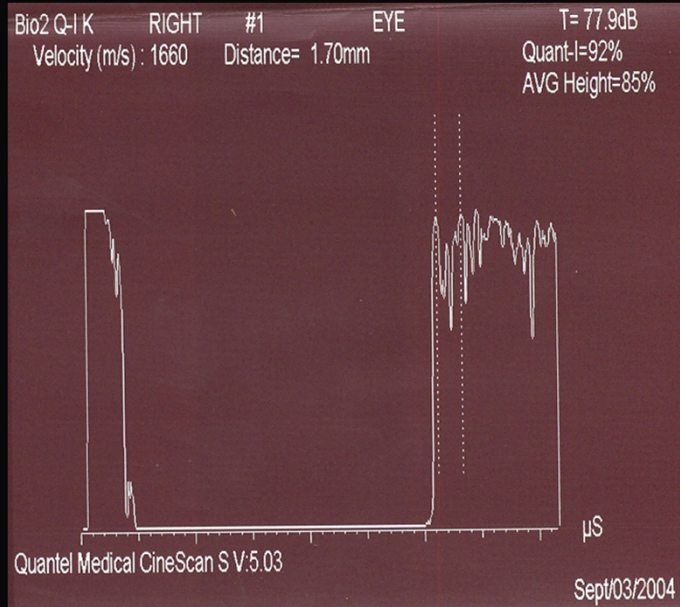
GRE. Maggio 2004



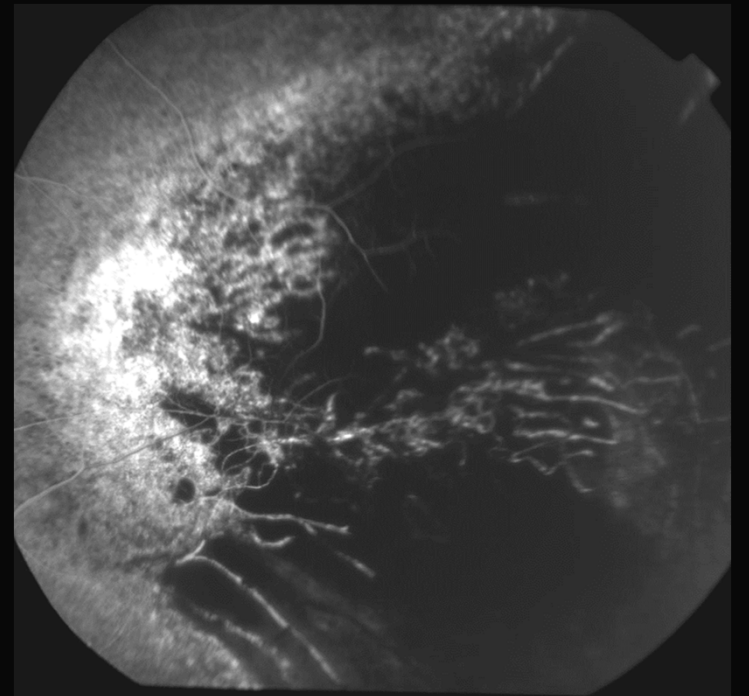
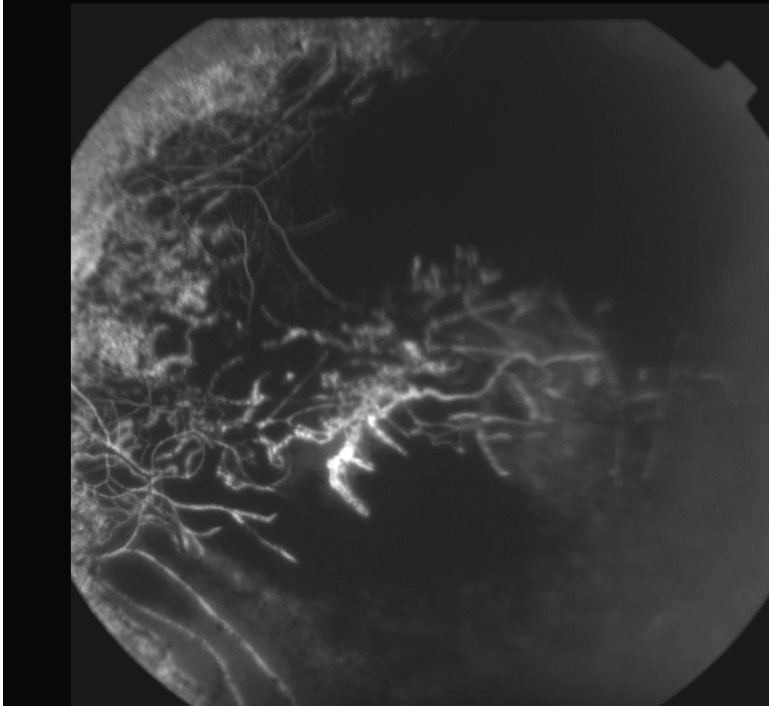
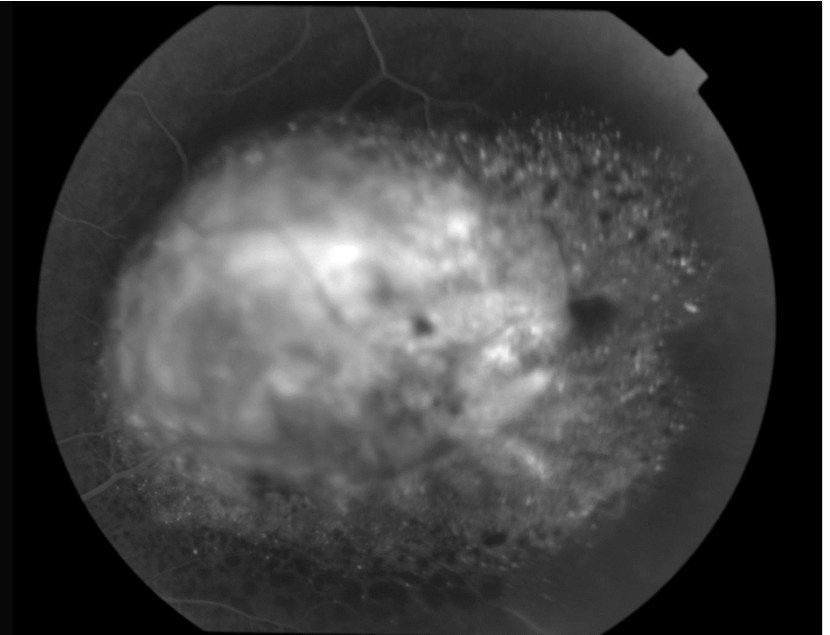
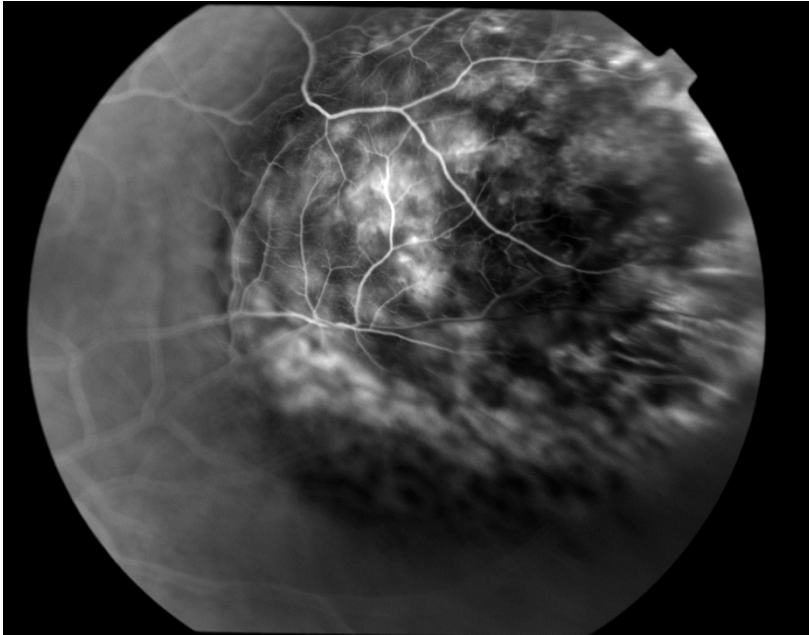
GRE. Luglio 2004

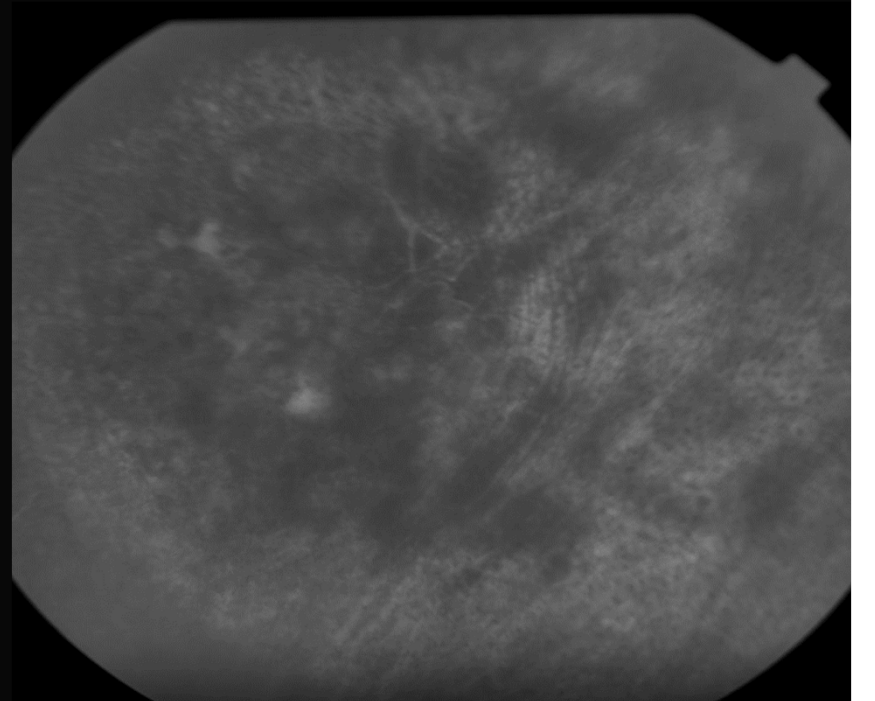
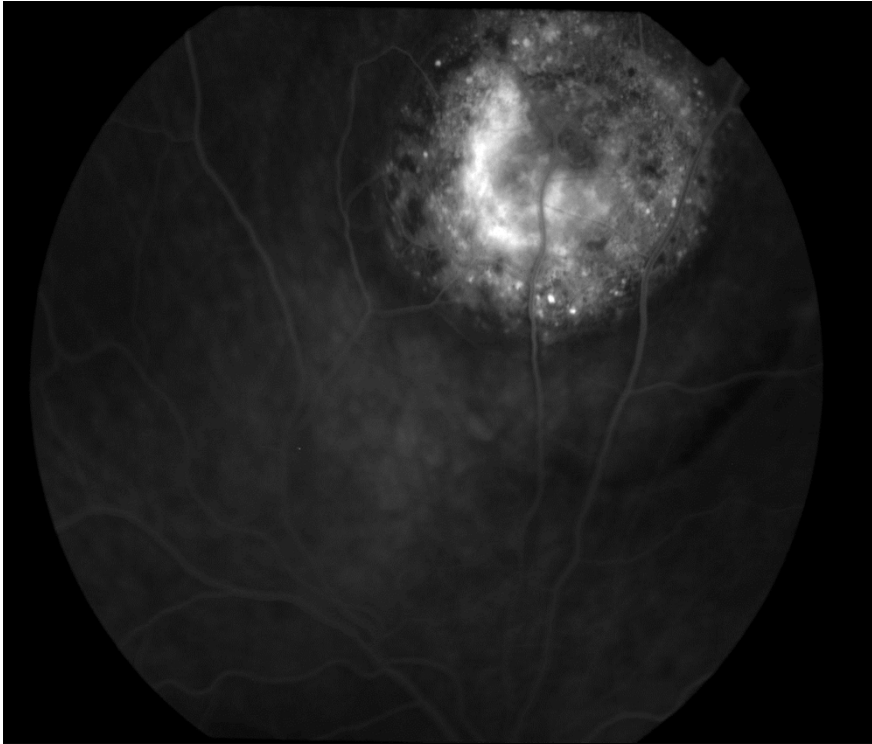


GRE. Settembre 2004



FLUORANGIOGRAFIA





FOLLOW UP

- OGNI 6 MESI PER I PRIMI DUE ANNI
- POI OGNI ANNO

FOLLOW UP

- ECOGRAFIA EPATICA
- TRANSAMINASI
- GAMMA-GLUTAMIL TRASFERASI
- FOSFATASI ALCALINA
- QUADRO SIEROPROTEICO
- FERRITINA

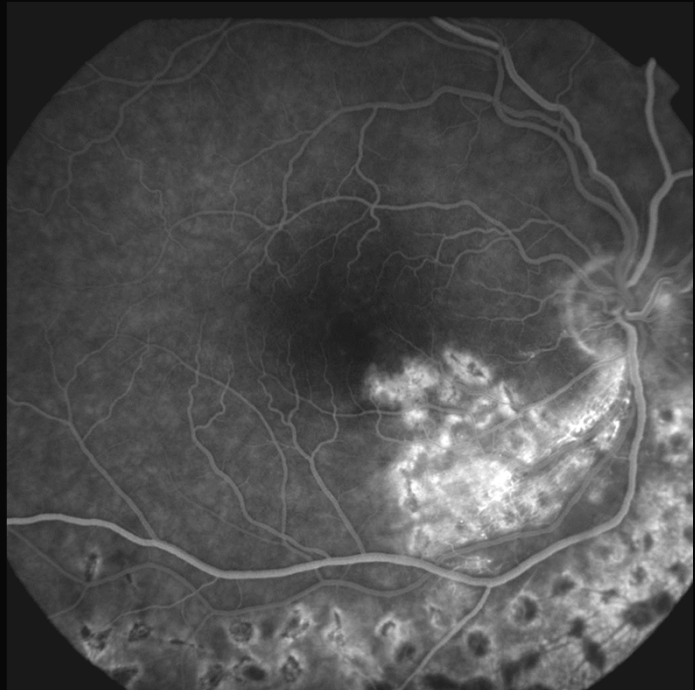
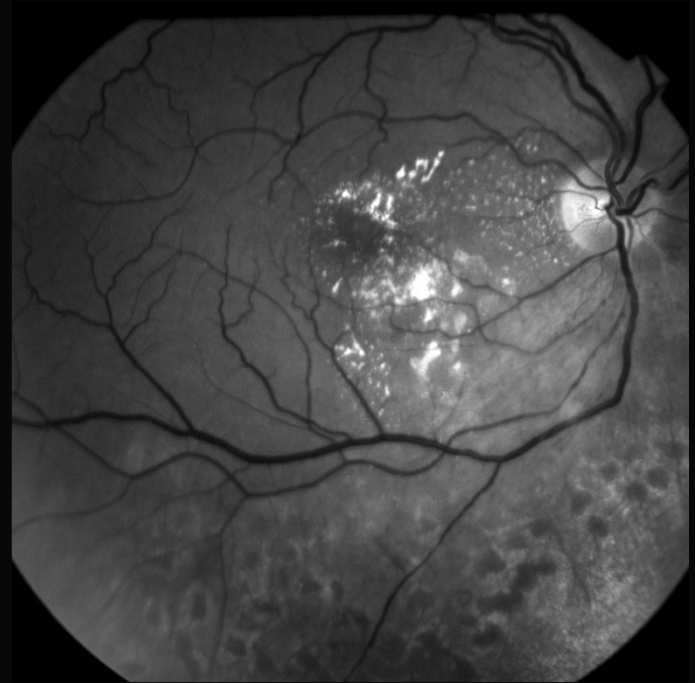
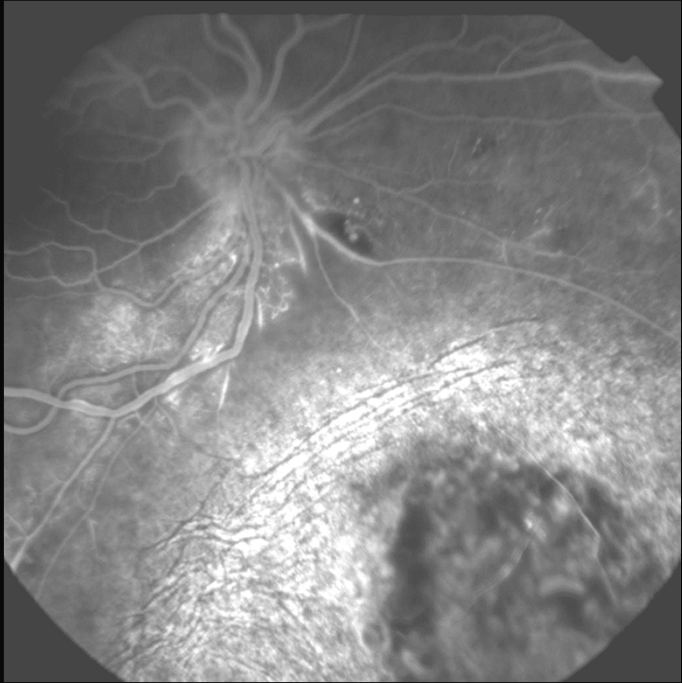
COMPLICANZE POSSIBILI DOPO TRATTAMENTO CON RUTENIO 106

- DEGENERAZIONE MACULARE
- RETINOPATIA DA RAGGI
- PAPILLITE
- ATROFIA DEL NERVO OTTICO
- CATARATTA DA RADIAZIONE
- OPACITA' PERIFEICHE DELLALENTE
- TROMBOSI VENA CENTRALE RETINA
- DISTACCO DI RETINA
- DISTACCO DI RETINA TRANSITORIO
- EMOVITREO
- DISTACCO DI COROIDE
- UVEITE

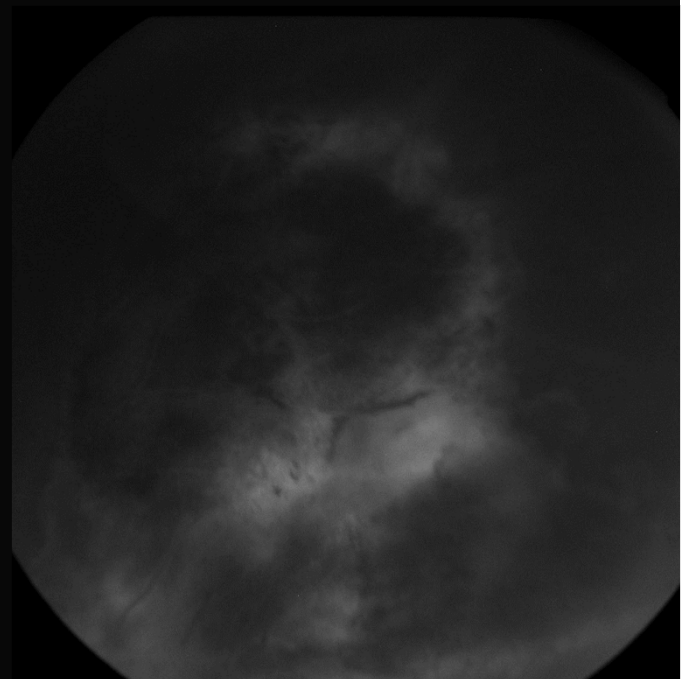
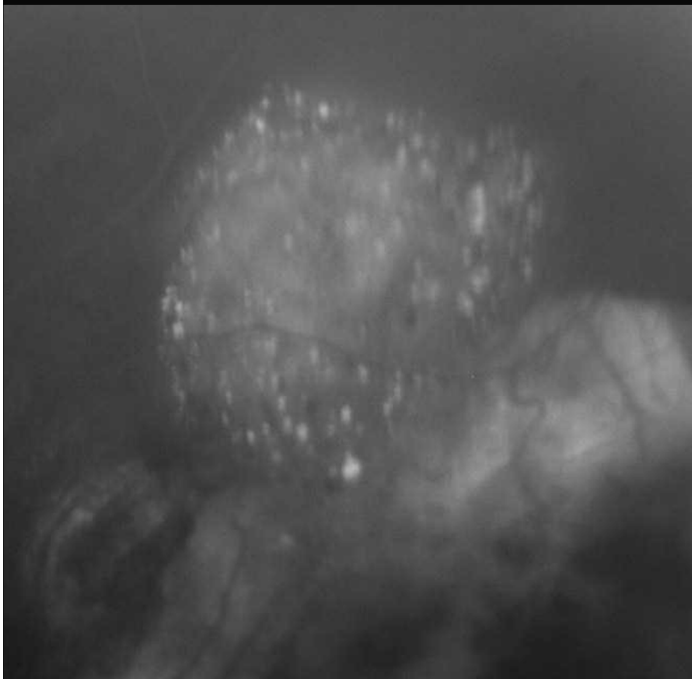
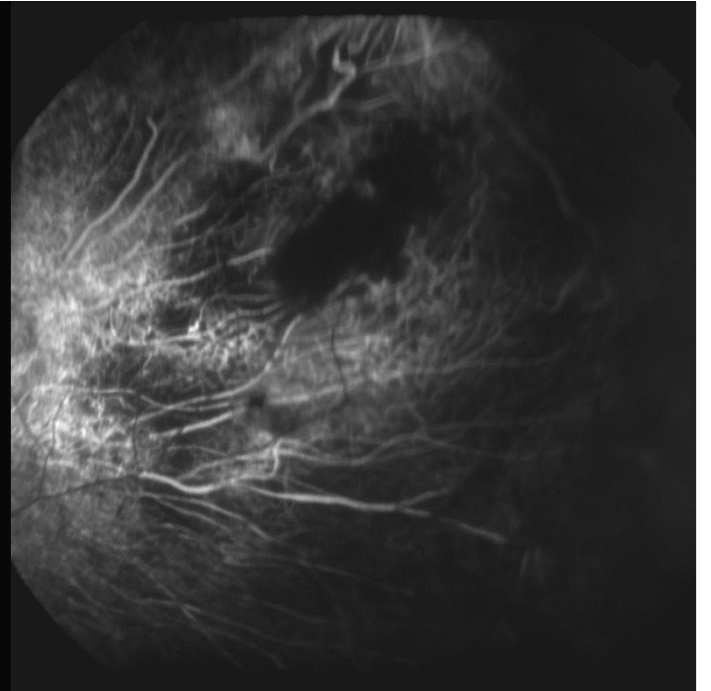
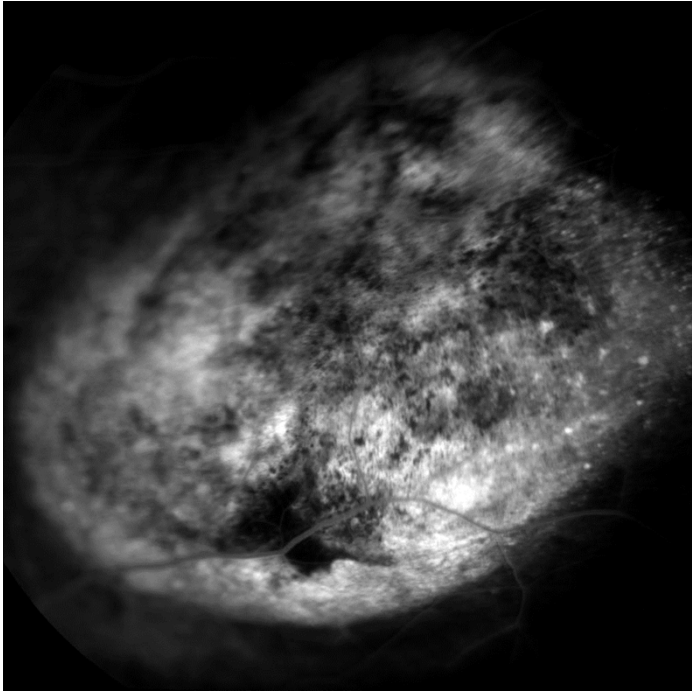
LA RETINOPATIA DA RADIAZIONI

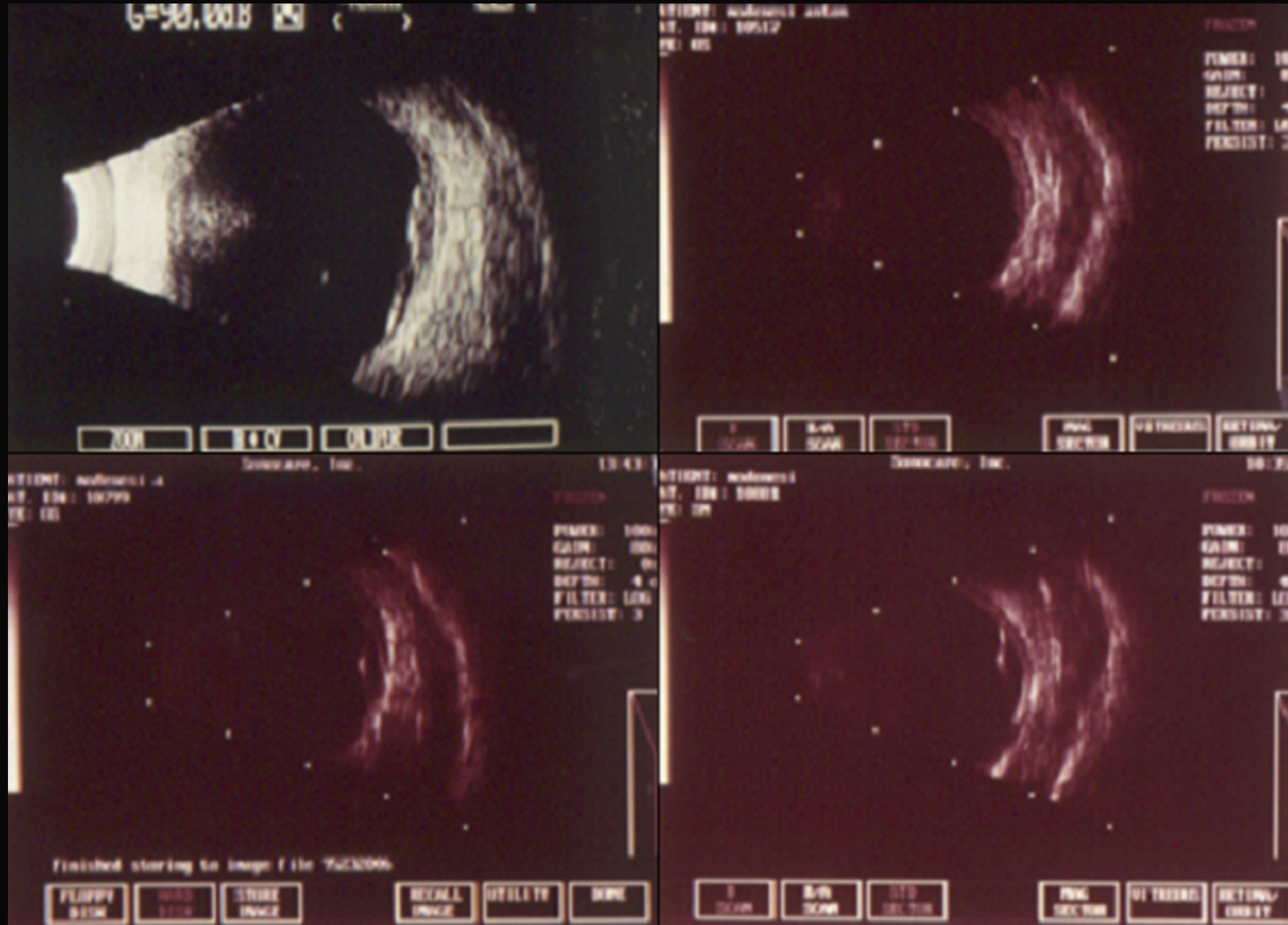


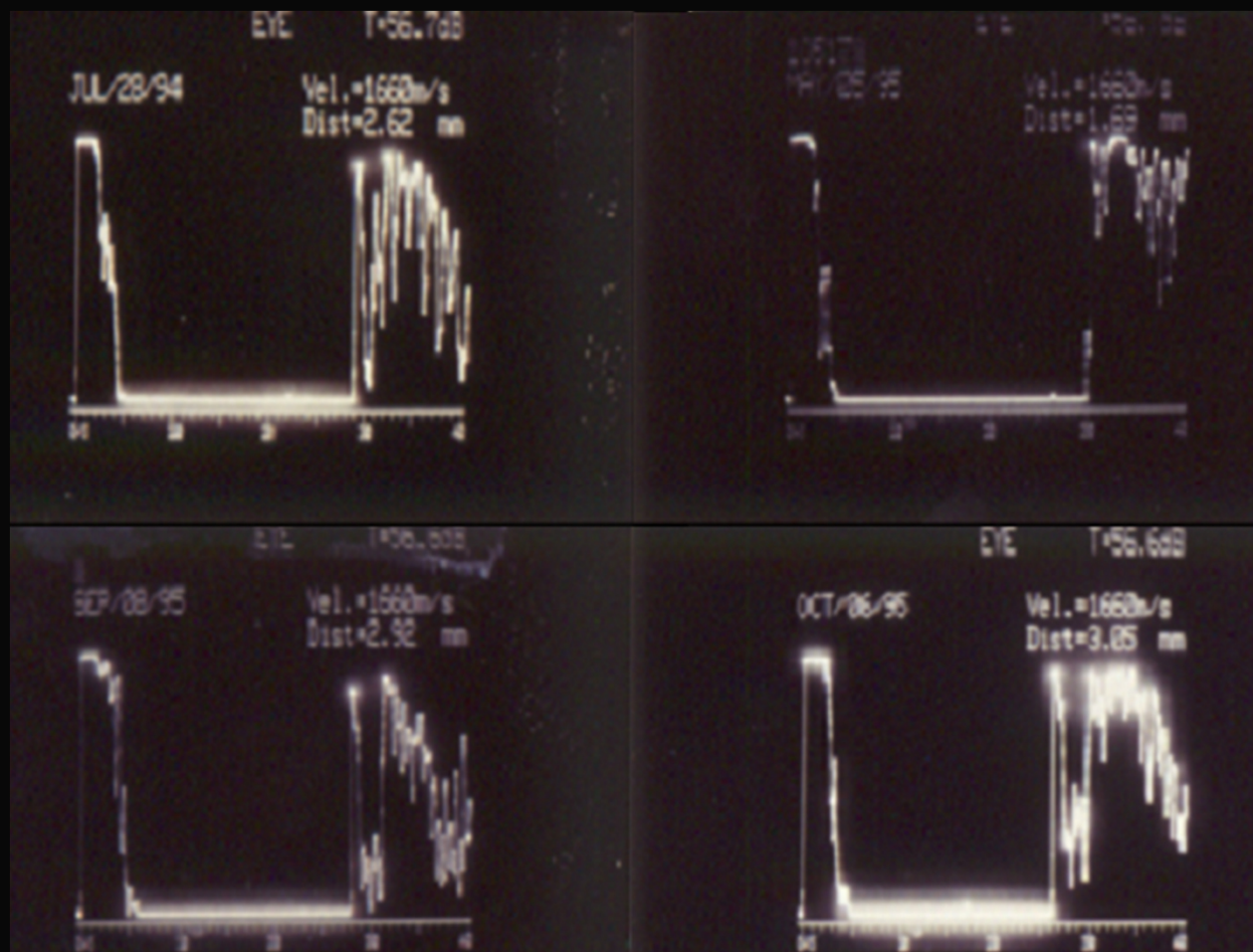




LE RECIDIVE



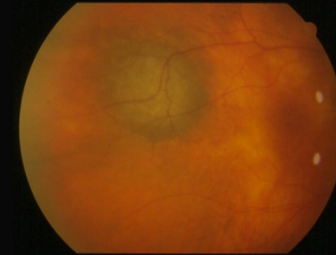






PRINCIPALI NEOPLASIE INTRAOCULARI DELL'ADULTO

- Melanoma dell'uvea



- Metastasi



- Angioma



- Nevo
- Nevo sospetto
- Osteoma
- Angioma retinico
- Melanocitoma
- Neurilemmoma
- Leiomioma
- Adenocarcinoma
- Angioma cavernoso misto